

جمهوری اسلامی ایران

وزارت معادن و فلزات

سازمان زمین‌شناسی و اکتشافات معدنی کشور
گروه اطلاعات زمین مرجع

طرح اکتشاف سراسری ذخایر معدنی
پروژه اکتشاف سیستماتیک در کمربند ارومیه - دختر

تهیه نقشه‌های مقدماتی پتانسیل مواد معدنی در گستره ورقه ۱:۱۰۰،۰۰۰ پاریز
با بهره‌گیری از سیستم‌های اطلاعات جغرافیایی (GIS)

مجری طرح : محمدجواد واعظی‌پور

مجری فنی : بهروز برنا

تهیه کننده :

مریم عرفاتی

تابستان ۱۳۷۹

فهرست مطالب

<u>صفحه</u>	<u>عنوان</u>
۱	تشکر و قدردانی
۲	پیشگفتار
۳	هدف از بررسی

فصل اول: کلیات

۶	۱-۱- موقعیت مکانی (جغرافیایی) و راههای ارتباطی ناحیه مورد مطالعه
۶	۱-۲- آب و هوا و ژئومورفولوژی منطقه مورد بررسی
۶	۱-۳- زمین‌شناسی عمومی منطقه مورد بررسی
۹	۱-۴- زمین‌شناسی ساختمانی منطقه مورد بررسی
۱۱	۱-۵- زمین‌شناسی اقتصادی (کانی‌سازی) در منطقه مورد بررسی

فصل دوم: روند تهیه نقشه پتانسیل معدنی در سیستم اطلاعات جغرافیایی

۱۵	۲-۱-گردآوری اطلاعات
۱۶	۲-۱-۱-داده‌های زمین‌شناسی
۱۶	۲-۱-۲-داده‌های اکتشافات چکشی و متالوژنی
۱۶	۲-۱-۳-داده‌های ژئوفیزیک هوایی
۱۹	۲-۱-۴-داده‌های ژئوشیمی اکتشافی
۲۰	۲-۱-۵-داده‌های دورسنجی
۲۱	۲-۲-پردازش داده‌ها و تهیه نقشه‌های نشانگر مربوطه
۲۳	۲-۲-۱-نقشه نشانگر واحدهای زمین‌شناسی
۲۴	۲-۲-۲-نقشه‌های نشانگر داده‌های ژئوفیزیک هوایی
۲۶	۲-۲-۳-نقشه نشانگر داده‌های ژئوشیمی اکتشافی
۲۷	۲-۲-۴-نقشه نشانگر گسلهای نشانگر
۲۸	۲-۲-۵-نقشه نشانگر دایکهای نشانگر
۲۹	۲-۲-۶-نقشه نشانگر مناطق دگرسان شده مربوط به داده‌های دورسنجی
۳۰	۲-۳-ترکیب و تلفیق نقشه‌های نشانگر بر مبنای مدل انتخابی و تهیه نقشه پتانسیل معدنی با اولویت‌بندی
۳۲	۲-۳-۱-روش وزنهای نشانگر
۳۳	۲-۳-۲-روش آنالیز رگرسیون لجستیکی

نتیجه‌گیری

فصل سوم: کنترل صحرایی محدوده‌های امیدبخش و صورت نتایج آزمایشگاهی

نمونه‌های ذکر شده

منابع مورد استفاده

فهرست نقشه‌ها

نقشه شماره ۱ : نقشه موقعیت جغرافیایی و راههای ارتباطی منطقه

نقشه شماره ۲ : نقشه زمین‌شناسی منطقه

نقشه شماره ۳ : نقشه گسلهای زمین‌شناسی منطقه

نقشه شماره ۴ : نقشه پراکندگی دایکها

نقشه شماره ۵ : نقشه پراکندگی معادن و اندیس‌های معدنی

نقشه شماره ۶ : نقشه مشتق اول مغناطیسی

نقشه شماره ۷ : نقشه رادیومتری عنصر پتاسیم

نقشه شماره ۸ : نقشه برگردان به قطب

نقشه شماره ۹ : نقشه گسلهای و خطواره‌های ژئوفیزیکی

نقشه شماره ۱۰ : نقشه محدوده‌های توده‌های نفوذی کم عمق ژئوفیزیکی

نقشه شماره ۱۱ : نقشه محدوده‌های امیدبخش ژئوفیزیکی

نقشه شماره ۱۲ : نقشه Target area ژئوفیزیکی

نقشه شماره ۱۳ : نقشه داده‌های ژئوشیمیابی اکتشافی

نقشه شماره ۱۴ : نقشه گسلهای دورسنجی

نقشه شماره ۱۵ : نقشه مناطق دگرسان شده حاصل از مطالعات دورسنجی

نقشه شماره ۱۶ : نقشه نشانگر دوتایی واحدهای زمین‌شناسی

نقشه شماره ۱۷ : نقشه نشانگر مشتق اول

نقشه شماره ۱۸ : نقشه نشانگر برگردان به قطب

نقشه شماره ۱۹ : نقشه نشانگر رادیومتری پتاسیم

نقشه شماره ۲۰ : نقشه نشانگر داده‌های ژئوفیزیکی

نقشه شماره ۲۱ : نقشه بافر توده‌های نفوذی کم عمق ژئوفیزیکی

نقشه شماره ۲۲ : نقشه نشانگر توده‌های نفوذی کم عمق ژئوفیزیکی

نقشه شماره ۲۳ : نقشه نشانگر محدوده‌های امیدبخش ژئوفیزیکی

نقشه شماره ۲۴ : نقشه نشانگر داده‌های ژئوشیمیایی اکتشافی

نقشه شماره ۲۵ : نقشه پراکندگی کلیه گسله‌های منطقه (زمین‌شناسی، ژئوفیزیک، دورسنجی)

نقشه شماره ۲۶ : نقشه بافر کلیه گسله‌ها

نقشه شماره ۲۷ : نقشه نشانگر گسله‌های منطقه

نقشه شماره ۲۸ : نقشه بافر دایکهای منطقه

نقشه شماره ۲۹ : نقشه نشانگر دایکهای منطقه

نقشه شماره ۳۰ : نقشه نشانگر مناطق دگرسان شده

نقشه شماره ۳۱ : روند بررسی به منظور دستیابی به نقشه پتانسیل معدنی عنصر فلزی مس

نقشه شماره ۳۲ : نقشه پتانسیل معدنی با روش وزنهای نشانگر

نقشه شماره ۳۳ : نقشه پتانسیل معدنی با روش آنالیز رگرسیون لجستیکی

نقشه شماره ۳۴ : نقشه محدوده‌های بررسی شده در کنترل صحرا ای

تشکر و قدردانی

بدون شک انجام این مهم نیازمند مساعدت و همکاری افراد صاحب نظر و علاقمند که بی وقهه تلاش می کنند می باشد.

در این پروژه از اطلاعات بخش های مختلف سازمان زمین شناسی و اکتشافات معدنی کشور استفاده شده است که بدینوسیله از یکایک این همکاران قدردانی می شود.

از کلیه رؤسا، مسئولین و مجریان طرح که بیدریغ و پرتلاش در تمام مراحل کار ما را یاری نموده اند سپاسگزاری می شود.

و در نهایت از تمامی عزیزانی که به هر نحو در انجام این گزارش تلاش نموده اند تشکر و قدردانی می گردد.

مریم عرفاتی

پیشگفتار

دستیابی سریع به اطلاعات مربوط به علوم زمین تلاشی است که امروزه کلیه مراکز علمی - فنی جهان در پی آن می باشند، در این میان سیستم اطلاعات جغرافیایی (GIS)^(۱) مجموعه‌ای است که با بهره‌گیری از امکانات و ابعاد علمی و نرم افزاری پیشرفته مربوط به علوم زمین این مهم را میسر ساخته است. با پیشرفت و توسعه سیستم‌های کامپیوتری امکاناتی برای متخصصان فراهم آمده تا از دوباره کاریها و عدم قابلیت در تبادل اطلاعات جلوگیری شود، همچنین با ذخیره‌سازی، تغییر، تلفیق و یا هر نوع فرایند دیگری می‌توان از خروجیهای حاصله در امر تجزیه، تحلیل، برنامه‌ریزی، مدیریت و اتخاذ تصمیم استفاده کرد.

به طور تجربی اثبات شده است که چنانچه اطلاعات مختلف تلفیق شوند نتایج حاصله پربارتر و متمرثمرتر از بررسی تک‌تک لایه‌های اطلاعاتی خواهد بود، در این میان GIS علم و فنی است مناسب برای جمع‌آوری و مرتب سازی داده‌ها از یک سو و ترکیب و تلفیق آنها از سوی دیگر. سیستم اطلاعات جغرافیایی امکان ایجاد یک بانک اطلاعاتی با حفظ کلیه اصول و معیارهای فنی و علمی به کاربر میدهد که برخورداری از این بانک اطلاعاتی سبب بالارفتن قدرت تصمیم‌گیری و افزایش کارایی‌ها در تجزیه و تحلیل‌های مکانی و فضایی می‌شود.

یکی از کاربردهای GIS در علوم زمین ایجاد و تعیین نقشه‌های محدوده‌های دارای پتانسیل معدنی با الوبت‌بندی و بیان چگونگی آنها است، به عبارت دیگر اینکه چه منطقه‌ای می‌تواند به مناطقی پرپتانسیل نسبت داده شود کاری است که GIS با روش‌های مختلف خود و در محیط‌های نرم افزاری متفاوت می‌تواند با احتمال قوی‌تری انجام دهد.

بدین ترتیب مناطق امیدبخش معدنی می‌توانند قبل از هرگونه سرمایه‌گذاری جدی محدود شوند که متعاقباً در هزینه و وقت نیز صرفه‌جویی قابل ملاحظه‌ای ایجاد خواهد شد که این امر از مهمترین دلایل کاربرد GIS در اکتشاف ذخایر معدنی است.

1) Geographic Information System

هدف از بررسی

ایران در یکی از کمریندهای بزرگ فلززایی جهان (آلپ - هیمالیا) قرار گرفته و به همین علت یکی از کشورهای با پتانسیل معدنی بالا محسوب می‌گردد، در این میان کمریند ولکانیکی ارومیه - دختر را شاید بتوان بعنوان پرپتانسیل ترین کمریند معدنی کشورمان معرفی کرد که با طول بیش از ۲۰۰۰ کیلومتر، پهنه‌ای متوسط حدود ۵۵ کیلومتر و امتداد شمال غرب - جنوب شرق یک سیستم پلوتوولکانیکی ترشیر را تشکیل میدهد، کانسارهای بزرگی درون این زون واقع می‌شوند که عمدتاً از تیپ‌های پرفیری، اسکارنی و رگه‌ای مس، طلای اپی‌ترمال و عناصر دیگر می‌باشند، این زون از دیرباز مورد توجه صنعت معدن کشور بوده است.

شناسایی و بهره‌برداری از این منابع خدادادی مستلزم اجرای یک برنامه سیستماتیک و عملی اکتشافی است که بر اساس استانداردهای نوین تدوین شده باشد.

اکتشاف بر پایه اصول علمی مورد قبول همگان است، در عصر حاضر که حجم اطلاعات علمی روزبه روز در حال افزایش است و روش‌های جدیدتر با سرعت و کارایی بیشتر و در عین حال اقتصادی‌تر جانشین خط مشی قبلی می‌گردد لزوم ایجاد یک بانک اطلاعاتی احساس می‌گردد.

بر اساس تقسیم‌بندی جهانی که توسط سازمان ملل انجام گرفته است اکتشاف شامل چهار مرحله شناسایی^(۱)، پی‌جويي^(۲)، اکتشافات عمومي^(۳) و اکتشافات تفصيلي^(۴) می‌باشد.

مرحله شناسایی که به صورت عملیات اکتشافی در زونهای ساختاری - متالوژنيکی در محدوده ورقه‌های مختلف در مقیاس‌های متفاوت (سراسری، استانی، موضوعی) صورت می‌گیرد هدف اصلی از بکارگیری سیستم اطلاعات جغرافیایی در تجزیه و تحلیل داده‌های زمین‌شناسی، ژئوشيمی، ژئوفیزیک، دورسنجی، اکتشاف چکشی و در نهایت تلفیق داده‌ها است که کمک به تصمیم‌گیری در مراحل بعدی عملیات پی‌جويي و دستیابی به مناطقی که از نظر پتانسیل معدنی امیدبخش می‌باشند

1) Reconnaissance

2) Prospecting

3) General Exploration

4) Detailed Exploration

می نماید.

در راستای همین امر و به دنبال کارهای انجام شده و در دست انجام بر روی برگه‌های مختلف، برگه ۱۰۰،۰۰۰:۱ پاریز که بخشی از زون ماقمایی ارومیه - دختر میباشد مورد بررسی قرار گرفته است، هدف اصلی از این بررسی علاوه بر جمع آوری و آماده سازی اطلاعات مختلف منطقه مانند داده‌های زمین‌شناسی، ژئوفیزیکی، ژئوشیمیایی و دورسنجی، تهیه نقشه‌های پتانسیل معدنی فلزی و در نهایت مشخص نمودن نواحی امیدبخش این عناصر بوده است.

فصل اول

کلیات

۱-۱- موقعیت مکانی (جغرافیایی) و راههای ارتباطی ناحیه مورد مطالعه

منطقه مورد بررسی از نظر تقسیمات زمین‌شناسی در جنوب زون ایران مرکزی و به طور عمده در کمریند ولکانیکی ارومیه - دختر قرار دارد، این ناحیه بخشی از چهارگوش سیرجان است که با مختصات طول جغرافیایی $30^{\circ} 29^{\prime}$ شمالي در شمال شرق شهرستان سیرجان واقع شده است.

اصلی‌ترین راه ارتباطی در برگه مذکور راه ترانزیت کرمان - سیرجان - بندرعباس است که از جنوب شرق و جاده فرعی سیرجان - شهربابک از جنوب غربی برگه عبور می‌کند، تنها راه رویه شمال جاده سیرجان - پاریز است که فقط تا معدن سرچشمہ ادامه یافته است. (نقشه شماره ۱)

۱-۲- آب و هوا و ژئومورفولوژی منطقه مورد بررسی

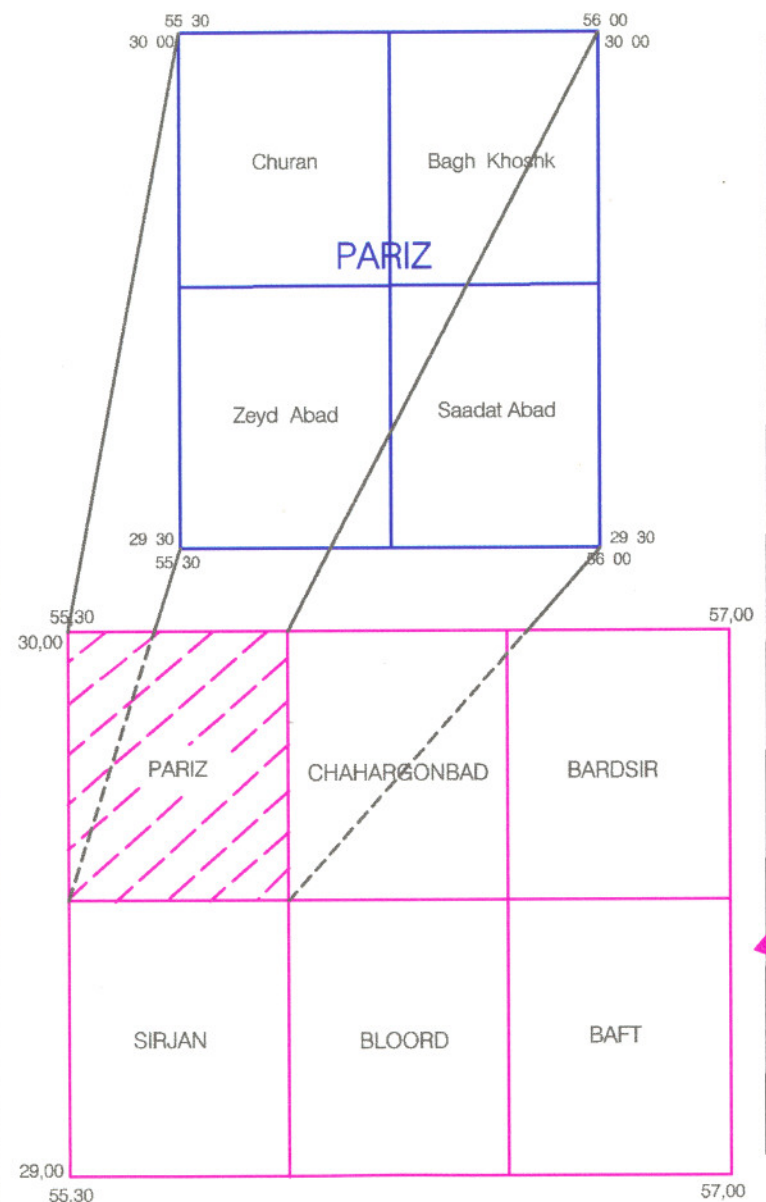
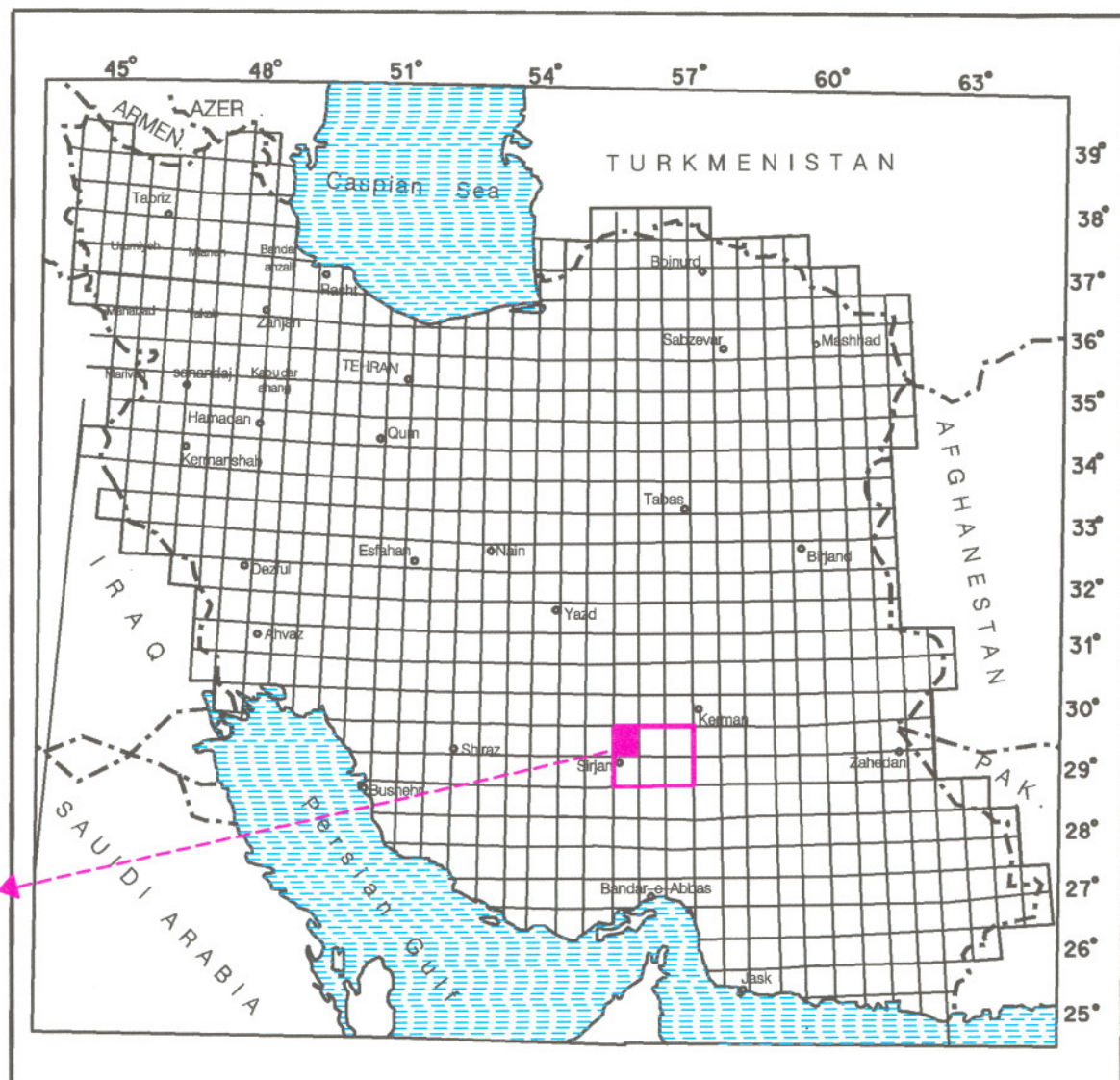
ورقه پاریز دارای دو چهره متمایز مورفولوژیکی و آب و هوایی میباشد، بخش شمالی کوهستانی با ارتفاعی بیشتر از 3000 متر دارای آب و هوای نسبتاً معتدل است و بخش جنوبی آن دشت آبرفتی پست همواری با بلندای 1700 تا 2000 متر با آب و هوای خشک و گرم نیمه بیابانی است، بزرگترین رودخانه این منطقه رود تنگو است.

۱-۳- زمین‌شناسی عمومی منطقه مورد بررسی

از نظر واحدهای ساختمانی - رسوبی کشور محدوده مورد مطالعه بخشی از کمان ماگمایی ارومیه - دختر در حاشیه جنوبی پهنه ایران مرکزی محسوب می‌گردد.
بر اساس نقشه زمین‌شناسی این منطقه^(۱)، قدیمی‌ترین سنگهای این ناحیه را برونزدهای اوسن شامل گدازه‌های تراکی آندزیتی - تراکی بازالتی، پیروکلاستیک‌های وابسته، سنگ ماسه، شیل و سنگ آهک تشکیل میدهد.

(۱) نقشه زمین‌شناسی تهیه شده توسط زمین‌شناسان یوگسلاو

LOCATION MAP



سنگهای نفوذی به شکل توده‌های نامنظم و استوک در گدازه‌های ائوسن نفوذ کرده و خود بواسیله دایکهای بیشماری قطع شده است. توده‌های نفوذی بیشتر ترکیب مونزوگرانودیوریت تا سینیت دارند. نئوژن در بخش زیرین با لایه‌های سنگ ماسه، میکروکنگلومرا همراه با اپال و نمک و در بخش فوقانی به شکل سنگ ماسه با قلوه‌های سنگهای آتشفسانی بروند دارد، سنگهای آتشفسانی نئوژن با ترکیب داسیتی به شکل گدازه و توفهای وابسته در این ناحیه دیده می‌شود.

مختصری از زمین‌شناسی منطقه^(۱) عبارت است از:

- پالئوزوئیک: قسمت پایین تر سریهای پالئوزوئیک ترکیبی از دولومیتها، مارنهای سیاه و خاکستری گاه چرت، شیستهای سریسیتی و کوارتزیتها است، قسمتهای بالاتر ترکیبی از آلبیت، کلریت و میکاشیستها میباشد.

دگرگونی سنگها بر رخساره‌گرین شیست منطبق است کانیهای اصلی این سنگها کربناتها، کوارتز، سریسیت، آلبیت، کلریت، اپیدوت و اکتینونیت می‌باشد.

Coloured Melange - : این تشکیلات ترکیبی از اسپیلیتهای دریایی و توده‌ها و آگلومراها دیابازی، گابرو - دیاباز و دایکهای گابرو - پروپیلیتی و رسوبات رادیولاریت و کربن دار می‌باشد. ماگماتیتها شامل پلازیوکلازهای بازی، معمولاً آلبیتی شده اورالیت، کلریت و اپیدوت و کربناتها هستند. در این سنگها آلبیتی شدن، اپیدوتی شدن و سیلیسی شدن عمل کرده است.

- ائوسن: سنگهای ائوسن در قسمتهای شمال شرقی در قسمت بالای کمپلکس ولکانوژنیک، به وسیله پیروکلاستیکها و جریانهای گدازه‌ای نشان داده شده‌اند که بر پیروکسن تراکی آندزیتها و به طور محدودتر بر پیروکسن - آندزیت و تراکی بازالتها منطبق هستند.

(۱) م. علوی ۱۳۷۸ - گزارش مطالعات ژئوفیزیکی به روشهای مغناطیسی، رادیومتری و مقاومت‌سنگی هوایی در برگه ۱:۱۰۰،۰۰۰ پاریز

قسمتهای جنوبی برگه، عمدتاً سنگهای آندزیتی از قسمتهای میانی کمپلکس ولکانوژنیک را نشان میدهد، سنگها ترکیبی از پلازیوکلازها، پیروکسن مونوکلینیک و گاه هورنبلند با ترکیب میکرولیتهای همان کانیها با شیشه میباشند.

سنگهای رسوی عمدتاً ماسه سنگ و به طور محدودتر آهکها میباشند.

- **سنگهای آتشفسانی** : سنگهای آتشفسانی بصورت توده‌های ناموزون نیمه عمیق و استوکهایی در کمپلکس ائوسن همراه با تعدادی دایکهای نفوذی شکل گرفته‌اند. نفوذی کوه مامزر و سرچشم اصولاً گرانودیوریت با تمایل کوارتز - دیوریت، دیوریت و مونزوودیوریت به طور محدودتر مونزوونیت و کوارتز - مونزوونیت هستند.

گرانودیوریت به شدت آرژیلیتی شده استوک سرچشم، به وسیله دایکهای دیوریت و گرانودیوریت با شبیه شمالی - جنوبی قطع شده است. نفوذیهای دیگر عمدتاً کوارتز - دیوریتی و دیوریتی هستند. عمدتاً همه پلوتونیکها سنگهای خنثی و کم کوارتز میباشند. کانی سازیهای مس در ارتباط با پلوتونیزیم یافت شده‌اند.

- **اولیگوسن - میوسن** : این رسوبات در قسمتهای جنوب شرقی و شرق به صورت ناموزون در کنار Colour Melange ها و ائوسن رخنمون دارند. در منطقه‌ای در جنوب شرق رود تنگو، ترکیبی از رودیتها با قطعاتی از سنگهای قدیمی‌تر در سری سنگهای کربن‌دار و برشهای ماسه سنگ با قطعات بیومیکریت دیده می‌شود. در قسمتهای بالاتر تناوبی از برشها با آهکهای ماسه‌ای و ماسه‌های توفیقی و سیلتستونها حضور دارند. در شرق روستای بیدخان سریهایی از رسوبات، مرکب از سنگهای کلاستیک صورتی رخنمون دارند.

- **ئوشن** : دو دسته رسوبات در ئوشن جدا شده است، دسته پائین‌تر در منطقه روستای کاهوئیه

رخنمون دارد که دارای ترکیب ماسه سنگ متوسط تا ریزدانه با رگه‌های گچ و میان لایه‌های هالیت می‌باشد. در قسمتهای پائین‌تر، کنگلومراها و ماسه سنگها و در قسمتهای بالاتر قطعات از بلوکهایی از داسیتها می‌باشد.

- **سنگهای ولکانیک نئوژن** : سنگهای ولکانیک نئوژن در دو آتشفسان انفجاری کوه گل و سرچشمه نمایش داده شده است، هر دو آتشفسان در یک قیف پیروکلاستیک که ترکیبی از آگلومراها طبقه‌بندی شده می‌باشد توسعه یافته است. در آتشفسان سرچشمه در قسمت مرکزی قیف ترکیب برش و ایگنمبیریت حفظ شده است.

همه این ولکانیکها عمدتاً با داسیتها هورنبلند - بیوتیت، داسیتوئیدها با کوارتز فنوکریستها و کرپیومورفیک فنوآندریتها منطبقند.

- **کواترنری** : رسوبات این سن منطقه بزرگی از برگه را پوشانده‌اند. تراسهای کربن دار شمال سرچشمه، منطقه وسیعی از آلوویم عهد حاضر و منطقه‌ای که به وسیله شن در قسمت جنوب غربی برگه تفکیک می‌شوند.

۱-۴- زمین‌شناسی ساختمانی منطقه مورد بررسی

از لحاظ تقسیم‌بندی زمین ساختی بزرگ مقیاس، برگه پاریز از شمال شرق به جنوب غرب به ترتیب بخش‌هایی از زون ماگمایی ارومیه - دختر، نوار افیولیتی نائین - بافت و زون دگرگونی ستنندج - سیرجان را شامل می‌شود.

زون ارومیه - دختر در برگه پاریز، خود شامل بخش‌های زیر از کمان ماگمایی حاشیه قاره‌ای ترسیر ایران مرکزی است: کمان آتشفسانی - پلوتونیک در شمال شرق و حوضه پیش کمان (Forearc) به سمت کوهپایه مرکزی و فرونژنستگی سیرجان. کمان آتشفسانی - پلوتونیک دارای ریخت کاملاً

کوهستانی است و رشته کوه منسار با قله های بلندتر از ۳۰۰۰ متر خط الرأس آنرا تشکیل می دهد که خط تقسیم آب حوضه های آبریز رفسنجان و سیرجان نیز محسوب می شود.

ساختمانی کلی کمان آتشفشاری - پلوتونیک به صورت تاقدیس مرکب بسیار پهنی با محور تقریباً شرقی - غربی است و چینهای کوچکتری با همان راستا در آن تشکیل شده اند. این تاقدیس بسیار گسلیده است و توده های نفوذی فراوانی آنرا قطع کرده اند. بنابراین علاوه بر نیروهای تراکمی، نفوذ توده های ماسه ای نیز در شکل گیری رشته کوه و فراخاست (Uplift) آن نقش مهمی داشته اند. در جنوب این تاقدیس بزرگ، نواری از رسوبات قاره ای چین خورده نئوژن قرار دارد که در مقایسه با توالی آتشفشاری کوه منسار تغییر شکل زمین ساختی کمتری نشان میدهد.

کمان ماسه ای در برگه پاریز در مقایسه با برگه مجاور آن در شمال غرب (برگه شهر بابک)، دستخوش فراخاست و فرسایش بیشتری بوده است به طوری که استوکهای گرانودیوریتی میوسن در سطح بسیار وسیعتری بیرون زدگی دارند. این عامل سبب شده است که بخش های عمیق تری از کانی سازی در حداقل برخی از کانسارهای مس پرفیری این برگه در سطح زمین ظاهر شود. بنابراین، کانی سازی های اپی ترمال (مربوط به عمق کمتر) در این برگه باید از میوسن جوانتر باشد که آن هم مغایرتی با مجموع مشاهدات صحرایی و آزمایشگاهی ندارد.

گسلهای غالب در این ناحیه را شکستگی های برشی هم یوغ (Conjugate Shear) با روندهای NE و NW تشکیل می دهد که با سیستم تنفس غالب منطقه، یعنی تراکم در جهت NE با مولفه امتداد لغز راستگرد که از نئوژن پایانی تا امروز حاکم بوده است هم خوانی دارد.^(۱)

۱) ج. حسن زاده و همکاران ۱۳۷۸ - زمین شناسی ساختمانی ورقه ۱:۱۰۰،۰۰۰ پاریز (گزارش طرح اکتشاف سراسری ذخایر معدنی در کمربند ارومیه - دختر)

۱-۵ زمین‌شناسی اقتصادی (کانی‌سازی) در منطقه مورد بررسی

منطقه پاریز از نظر متالوژنی بخشی از ناحیه مس سراسری ایران مرکزی است، تشکیل کانی زایی در این نوار در رابطه با فروزانش ورقه عربستان به زیر ورقه ایران مرکزی شناخته شده است. کانی‌سازی‌های عمدۀ در برگه پاریز با فعالیتهای گرمابی مرتبط با توده‌های نفوذی میوسن مربوط است. عمدۀ ترین نوع کانی سازی از نوع مس پرفیری است و کانسارهای سرچشم، دره‌زار، سرکوه، نوچون، باغ خوش و حسین‌آباد (شمال پاریز) نمونه‌های شناخته شده آن است.

در این منطقه می‌توان اذعان داشت که گستردگی مراکز کانی سازی در کمان آتشفشاری - پلوتونیک برگه پاریز، عامل عمدۀ ایجاد بی‌هنجریهای ژئوشیمیایی Cu, Mo, Pb, Zn و نیز Au در سیستم آبراهه‌های این برگه است.

نوع دیگری از کانی سازی که در برگه پاریز شناسایی شده، کانی سازی رگه‌ای اپی‌ترمال تا مزوترمال از گونه‌های چندفلزی (پلی‌متال) و سولفوسالت است. این سیستم‌های کانی سازی از کانی‌سازی‌های پرفیری موجود جوانتر و یا حداقل هم سن آنها هستند.^(۱)

(۱) ج. حسن‌زاده و همکاران ۱۳۷۸ - بررسی سنگ‌شناسی واحدهای آذرین در ورقه ۱:۱۰۰،۰۰۰ پاریز (گزارش طرح اکتشاف سراسری ذخایر معدنی در کمربند ارومیه - دختر)

سیستم اطلاعات جغرافیایی مجموعه سازمان یافته‌ای است از سخت افزار و نرم افزارهای کامپیوتری، داده‌های جغرافیایی و کارشناس که می‌تواند به طور موثری تمام اطلاعات مکانی را جمع‌آوری و ذخیره کرده، آنها را به روز درآورده، مورد تجزیه و تحلیل قرار داده و در نهایت آنها را به نمایش بگذارد.

مهمترین هدف GIS تلفیق داده‌های مکانی و ارزیابی نهائی آنها است. سیستم اطلاعات جغرافیایی امکان استفاده از روش‌های مختلف ترکیب و تفسیر داده‌ها و به نقشه درآوردن متغیرهای جدید را فراهم می‌آورد که از آنها می‌توان در تهیه نقشه‌های پتانسیل کانی سازی استفاده نمود و از نتایج بدست آمده در عملیات پی‌جویی و اکتشاف بهره گرفت.

تهیه نقشه‌های پتانسیل معدنی طی مراحل ذیل صورت می‌پذیرد :

- جمع‌آوری، طبقه‌بندی و ورود داده‌ها و تشکیل بانک اطلاعاتی لایه‌های مختلف این مرحله شامل شناسایی منابع داده‌های مورد نظر، برداشت و جمع‌آوری داده‌ها، رقومی کردن آنها^(۱)، ورود آنها به کامپیوتر، سازماندهی و تفسیر ساختار و زمین مرجع کردن برخی از داده‌های اولیه است. کوچکترین اشتباه در این مرحله منجر به ایجاد خطأ در نقشه نهایی می‌شود.

1) Digital

- تجزیه، تحلیل و تفسیر داده‌ها

پس از ورود داده‌ها و آماده‌سازی لایه‌های اطلاعاتی، چگونگی و نحوه ایجاد نقشه‌های نشانگر و تعیین متغیرها یا پارامترهای نشانگر انتخاب می‌گردد.

- ترکیب و تلفیق لایه‌های اطلاعاتی

از یک یا چند روش برای ترکیب لایه‌های اطلاعاتی استفاده می‌شود. انتخاب روش ترکیب و پارامترهای آن تنها توسط سیستم‌های اطلاعات جغرافیایی انجام پذیر نیست بلکه کارشناس یا مسئول پروژه در این مورد تصمیم‌گیری می‌نماید و این انتخاب یکی از پارامترهای مهم در تهیه نقشه‌های پتانسیل کانی سازی است.

انجام سه مرحله ذکر شده می‌تواند به صورت نقشه‌ها و جداول در عملیات اکتشاف معدنی مورد استفاده قرار گیرد که پس از تلفیق، احتمال حضور کانسuar مورد نظر را در یک ناحیه معرفی نماید.

۱-۲- گردآوری اطلاعات

جمع‌آوری اطلاعات مورد نیاز جهت تهیه نقشه‌های پتانسیل مواد معدنی در سیستم اطلاعات جغرافیایی، یکی از مراحل با اهمیت و حساس محسوب می‌شود. در اکثر موارد به دلیل پراکنده بودن و آماده نبودن همزمان اطلاعات، گردآوری آنها حداقل زمان انجام یک پروژه را به خود اختصاص میدهد. از آنجاکه بررسیهای بعدی در راستای تهیه نقشه نهایی بر روی داده‌های خام اولیه پس‌ریزی می‌شود، صحت داده‌های ورودی و انتخاب درست آنها از اهمیت خاصی برخوردار می‌باشد که می‌بایست توجه خاصی به آن مبذول داشت.

داده‌های مورد استفاده در تهیه نقشه پتانسیل کانی سازی به شرح ذیل می‌باشد که در هر قسمت پس از پردازش، نقشه نشانگر مورد نظر تهیه شده است:

- **داده‌های زمین‌شناسی**: نقشه زمین‌شناسی ۱:۱۰۰،۰۰۰ پاریزکه توسط زمین‌شناسان یوگسلاو تهیه شده است.

- **داده‌های اکتشافی ژئوفیزیک هوایی**: اطلاعات مغناطیس هوایی ناحیه‌ای با فاصله خطوط پرواز ۷/۵km و اطلاعات بسیار دقیق مغناطیس سنجی، رادیومتری با فاصله خطوط پرواز ۲۰۰ متر تهیه شده توسط گروه اطلاعات زمین مرجع سازمان زمین‌شناسی و اکتشافات معدنی کشور.

- **داده‌های اکتشافات چکشی و متالوژنی**: معادن و ان迪س‌های معدنی موجود در نقشه زمین‌شناسی ۱:۱۰۰،۰۰۰ پاریز تهیه شده توسط زمین‌شناسان یوگسلاو و نقشه پراکنده‌ی معادن و ان迪س‌های معدنی (متالوژنی) در ناحیه کرمان با مقیاس ۱:۵۰۰،۰۰۰ تهیه شده توسط زمین‌شناسان یوگسلاو.

- **داده‌های اکتشافی ژئوشیمی**: محدوده آنومالیهای ژئوشیمی، کانی سنگین و مناطق امیدبخش ژئوشیمی در برگه ۱:۱۰۰،۰۰۰ پاریز تهیه شده توسط طرح اکتشافات سراسری ذخایر معدنی در کمریند ارومیه - دختر (سازمان زمین‌شناسی و اکتشافات معدنی کشور)

- **داده‌های دورسنجی**: داده‌های آلتراسیونی و گسلهای تشخیص داده شده از تصویر ماهواره‌ای

موجود توسط گروه دورسنجی سازمان زمین‌شناسی و اکتشافات معدنی کشور.

۱-۱-۲- داده‌های زمین‌شناسی

از لایه‌های اطلاعاتی بسیار با اهمیت در تهیه نقشه نهایی نقشه زمین‌شناسی میباشد، مبنای اطلاعات مورد استفاده در این سری از بررسیها نقشه و گزارش زمین‌شناسی برگه ۱:۱۰۰،۰۰۰ پاریز بوده است.^(۱) (نقشه شماره ۲)

برای استفاده از اطلاعات نقشه مذکور ابتدا عوارض مختلفی که در امر تهیه نقشه‌های پتانسیل معدنی کارآمد و موثر تشخیص داده شده، از جمله گسلها (نقشه شماره ۳)، حدود سنگ شناختی واحدهای زمین‌شناسی و دایکها (نقشه شماره ۴) در لایه‌های جداگانه رقومی گشته‌اند و همانطور که در فصول آتی شرح داده خواهد شد مورد استفاده قرار گرفته‌اند.

۱-۲- داده‌های اکتشافات چکشی و متالوژنی

توزیع مکانی اندیسه‌های معدنی و معادن شناخته شده مبنای ارزشمندی در تهیه نقشه‌های نشانگر می‌باید، لازم به ذکر است از آنجاکه هدف از این بررسی دستیابی به نقشه‌های پتانسیل معدنی عناصر فلزی (مس و عناصر همراه آن) بوده است، لذا تنها از معادن و شاخص‌های معدنی فلزی به عنوان داده‌های بسیار با اهمیت در مدل سازی استفاده شده و از شاخص‌های معدنی و معادن غیرفلزی و کانیهای صنعتی و... صرفنظر شده است.

این داده‌ها (کانسارهای مس، سرب، روی) با دقت ۱:۱۰۰،۰۰۰ و ۱:۵۰۰،۰۰۰ برداشت شده که محل معادن و اندیسه‌های معدنی شناخته شده را در ورقه یکصدهزار پاریز نشان میدهد. (نقشه شماره ۵)

۱-۳- داده‌های ژئوفیزیک هوایی

اطلاعات ژئوفیزیک هوایی از جمله لایه‌های اطلاعاتی بسیار با اهمیت در امر تهیه نقشه‌های

۱) نقشه و گزارش زمین‌شناسی برگه ۱:۱۰۰،۰۰۰ پاریز تهیه شده توسط زمین‌شناسان یوگسلاو

PARIZ



Geological Map

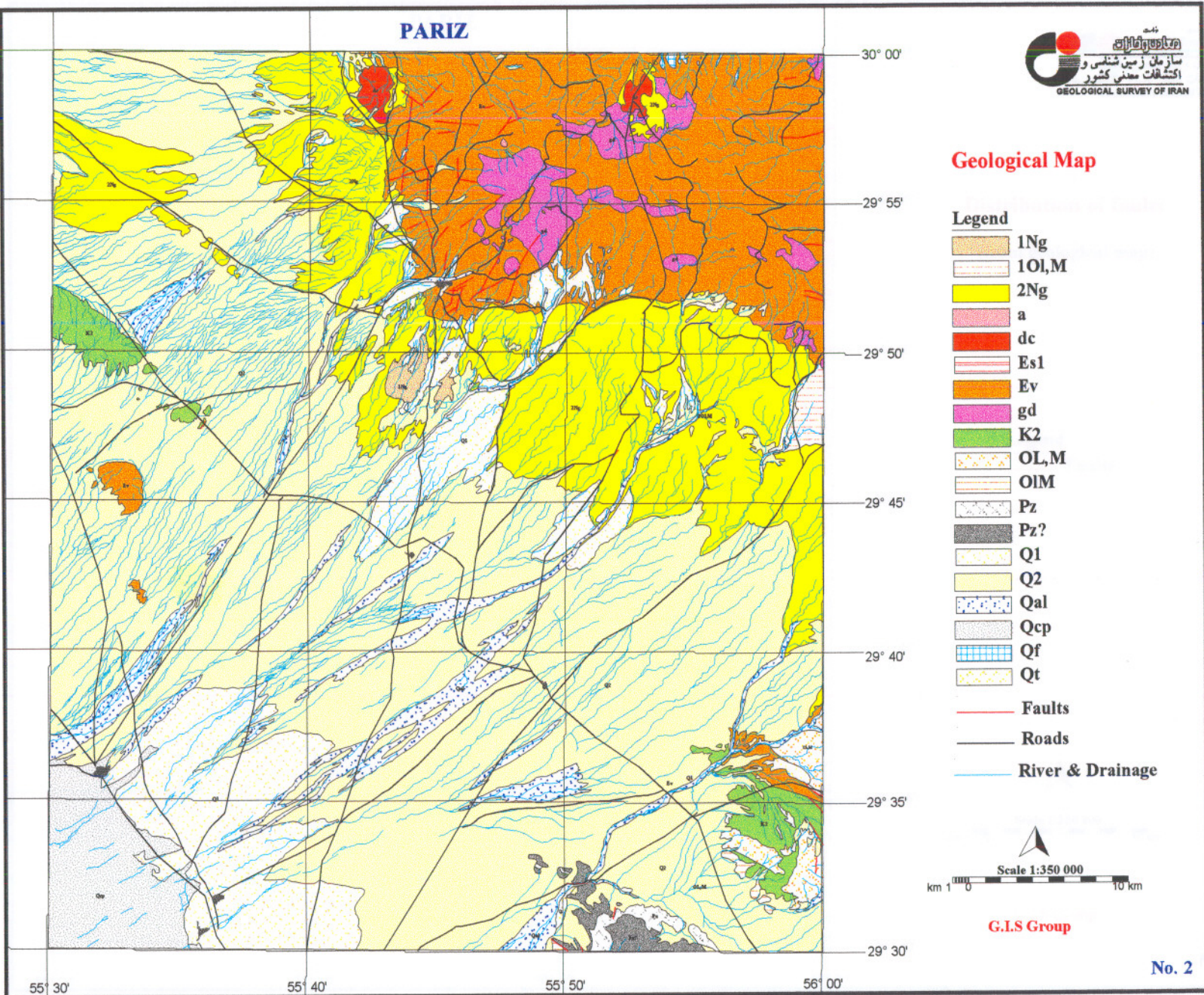
Legend

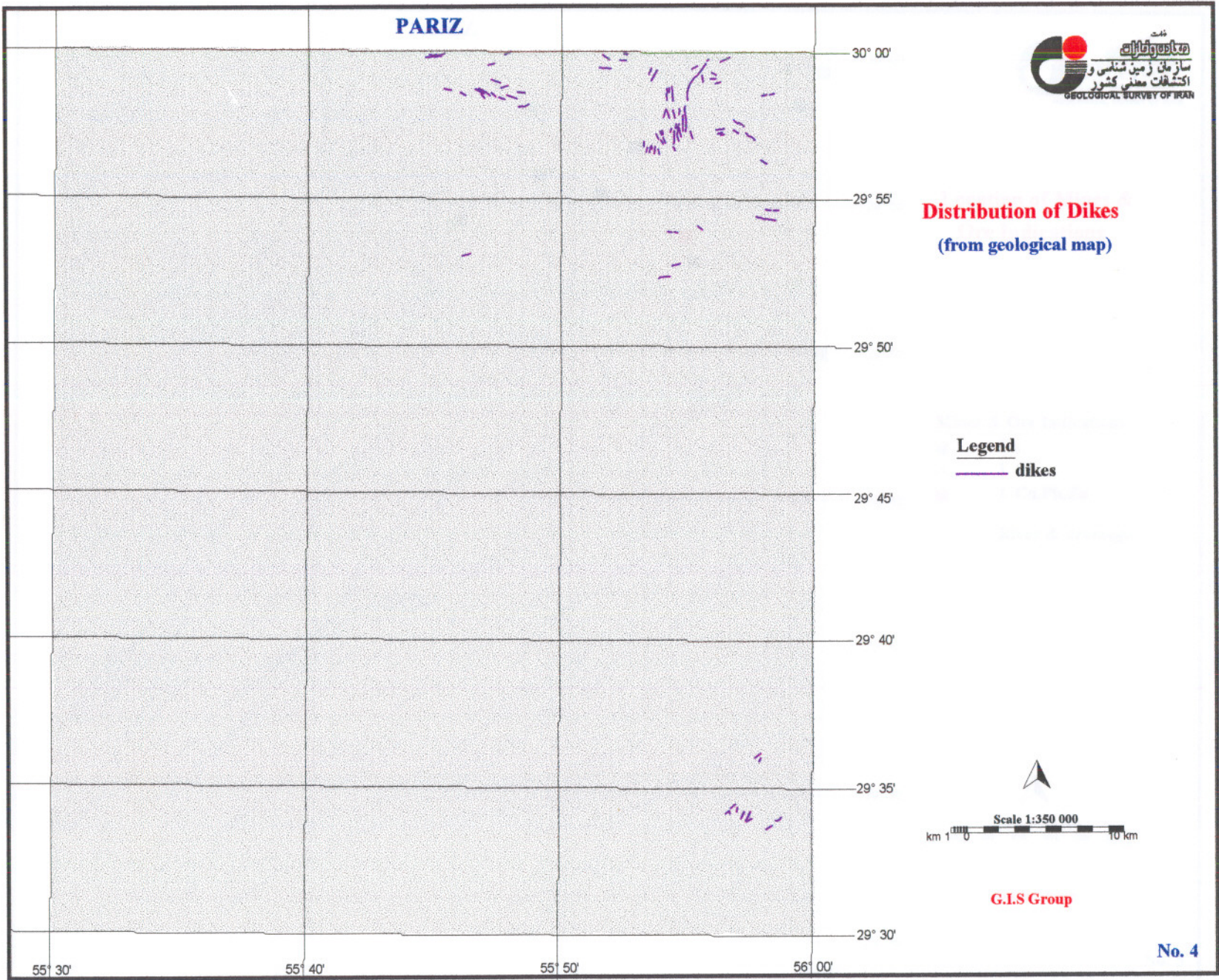
- 1Ng
- 1Ol,M
- 2Ng
- a
- dc
- Es1
- Ev
- gd
- K2
- OL,M
- OlM
- Pz
- Pz?
- Q1
- Q2
- Qal
- Qcp
- Qf
- Qt
- Faults
- Roads
- River & Drainage

Scale 1:350 000
km 1 0 10 km

G.I.S Group

No. 2





PARIZ



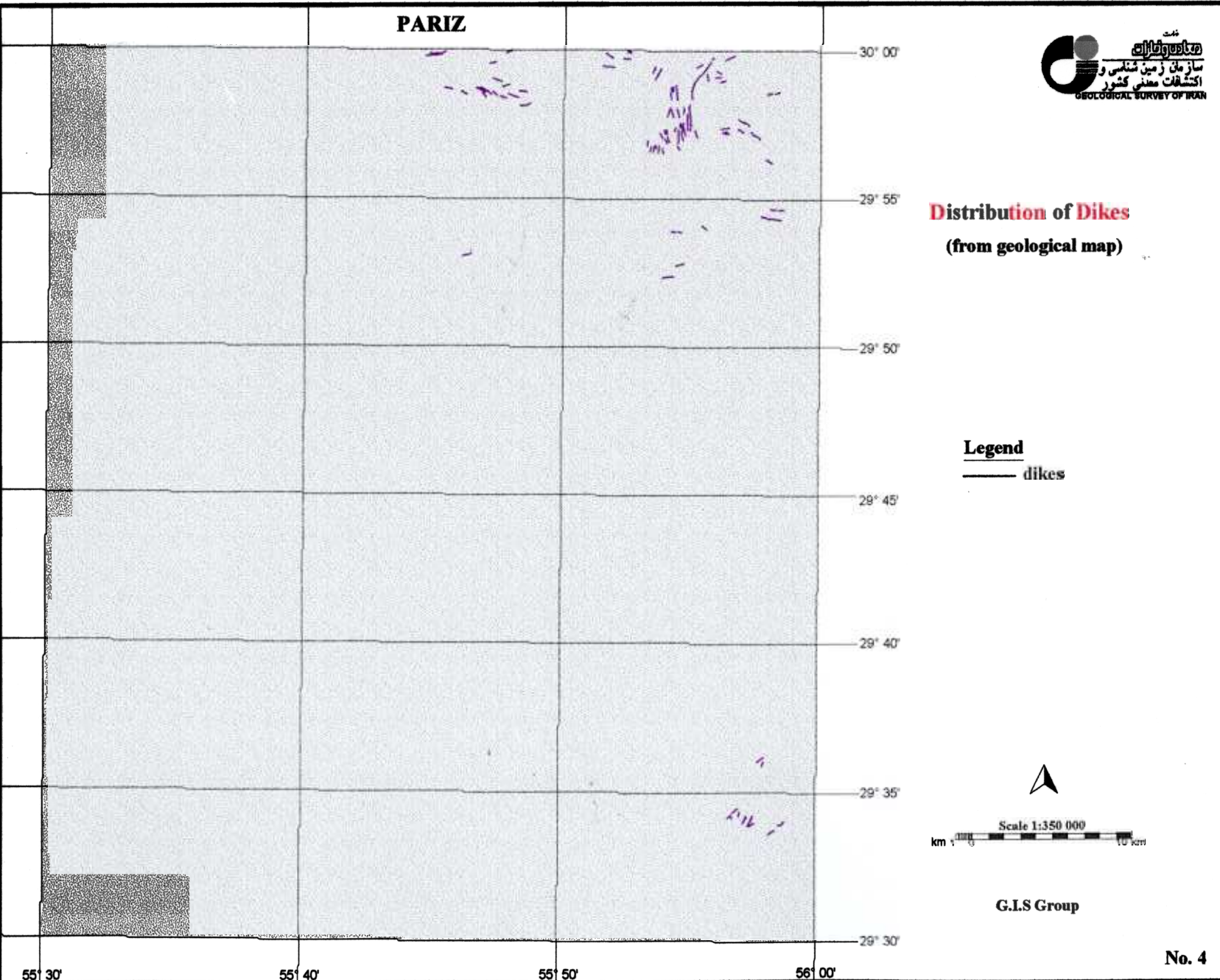
**Distribution of Dikes
(from geological map)**

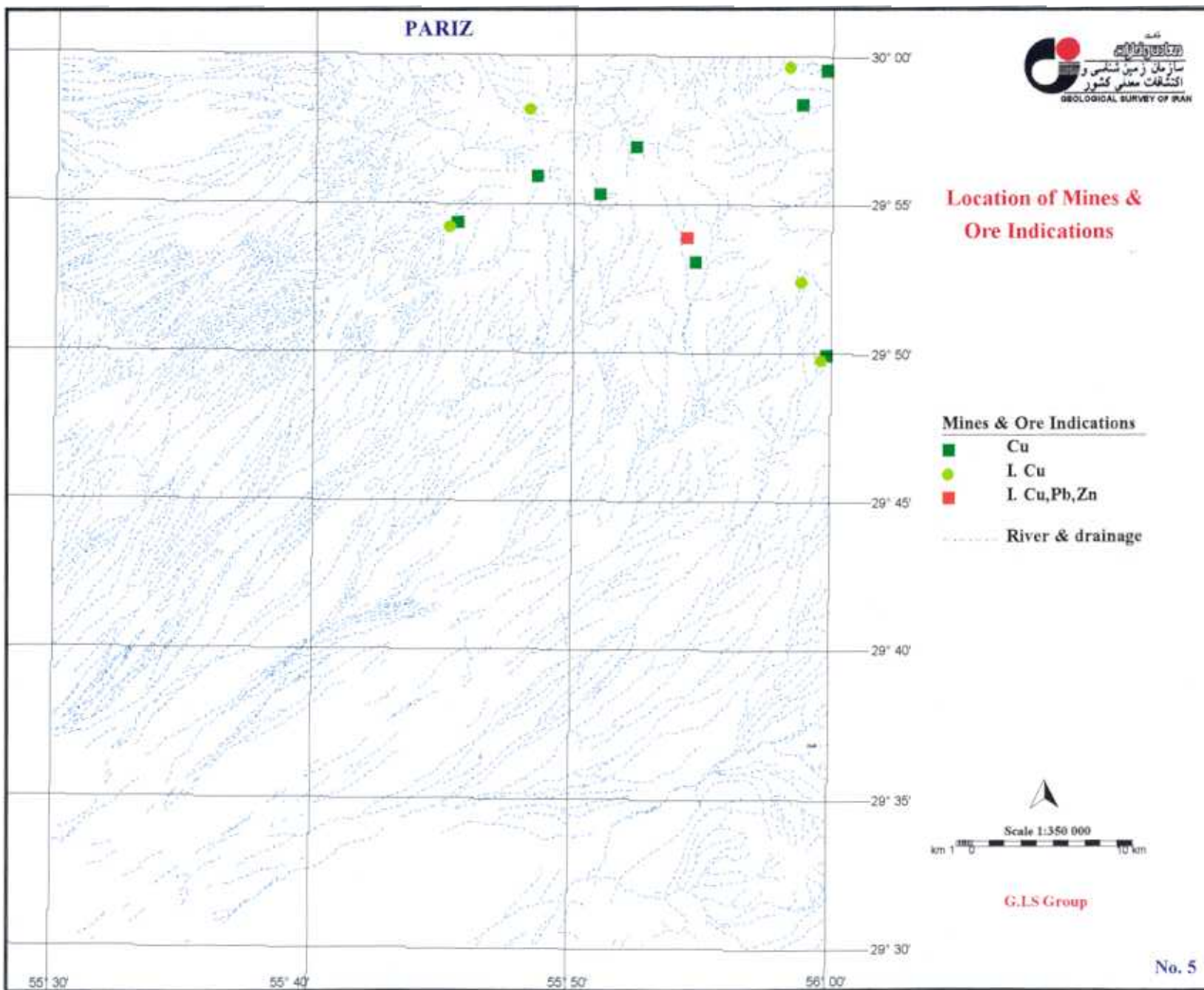
Legend
— dikes

Scale 1:350 000
km 0 10 km

G.I.S Group

No. 4





پتانسیل معدنی میباشد. به منظور دستیابی به اطلاعات جامع تر زمین‌شناسی و زمین ساخت، همچنین پنهانه‌های مناسب برای اکتشافات تفصیلی به ویژه ذخایر معدنی ناآشکار، اطلاعات ژئوفیزیک هوایی به کارگرفته می‌شود.

با در دست داشتن اطلاعات مغناطیس هوایی ناحیه‌ای و اطلاعات مغناطیس و رادیومتری هوایی منطقه‌ای و به کارگیری تکنیکهای نوین پردازش اطلاعات، ضمن تعیین شکستگیها و گسلهای بزرگ ناحیه‌ای و عمدتاً عمیق، توده‌های نیمه عمیق نفوذی که نقش عده‌ای در انواع کانی‌سازیهای هیدروترمالی دارند و همچنین مناطق پرپتانسیل جهت کار دقیق معرفی می‌شوند.^(۱)

در بررسی ژئوفیزیکی این منطقه از دو دسته اطلاعات استفاده شده است :

- دسته اول اطلاعات مغناطیس هوایی ناحیه‌ای با فاصله خطوط پرواز ۷/۵km
 - دسته دوم اطلاعات ژئوفیزیک هوایی منطقه‌ای، شامل مغناطیس‌سنجدی و رادیومتری شامل پتانسیم با فاصله خطوط پرواز ۲۰۰m که فقط قسمت شمال و شمال شرق منطقه را پوشش می‌دهد.
- لایه‌های پردازش شده در ژئوفیزیک هوایی که به طور مجزا مورد استفاده قرارگرفته است به شرح ذیل میباشد :

- نقشه مشتق اول (First Drivative) :

نقشه‌های مشتق اول (افقی و قائم) از این جهت که بی‌هنگاریهایی که در ارتباط با توده‌های نزدیک به سطح می‌باشد را مشخص می‌کند، در کارهای اکتشافی حائز اهمیت بوده و در روش مغناطیس‌سنجدی کاربرد فراوانی دارد.

این روش به صورت یک فیلتر بالاگذر عمل می‌کند و فرکانسهای بالا را عبور می‌دهد در نتیجه

(۱) م. علوی ۱۳۷۸ - بررسیهای ژئوفیزیک هوایی به روشهای مغناطیس‌سنجدی، رادیومتری و مقاومت سنجدی در ورقه ۱:۱۰۰,۰۰۰ پاریز

توده‌های کم عمق نمایان می‌شوند، بسیاری از خطواره‌های مغناطیسی را نیز می‌توان از نقشه مشتق قائم تشخیص داد. (نقشه شماره ۶)

- نقشه رادیومتری عنصر پتابسیم :

از کاربردهای اسپکترومتری پرتوگاما در زمین‌شناسی تعیین تمرکز عنصر پتابسیم بدون توجه به نوع کانی پتابسیم مرتبط، توانایی Alteration mapping می‌باشد، برای مثال آلتراسیون پتابسیک در فرم سریسیت عموماً با انواع کانسارهای ماسیوسولفاید مرتبط با ولکانیزم، فلزات اصلی و طلا همراه است. بعضی کانسارهای مس و طلای پورفیری (MO⁺) با آلتراسیون هیدروترمال پتابسیک همراهند. (نقشه شماره ۷)

- نقشه برگردان به قطب : Reduction to magnetic pole

نقشه برگردان به قطب یکی دیگر از داده‌های ژئوفیزیک هوایی است که در تهیه نقشه نهایی از آن استفاده شده است. در برگه ۱:۱۰۰،۰۰۰ پاریز با اعمال فیلتر برگردان به قطب اثر بی‌بهنجاریهای جنوب‌شرق و شمال‌غرب ضعیفتر و بر شدت بیهنجاریهای واقع در شمال‌شرق و مرکز نقشه افزوده شده است و از نظر مکانی کمی به شمال منتقل و در مکان واقعی خود قرار گرفته‌اند و تطبیق دقیق‌تری با زمین‌شناسی منطقه پیدا کرده‌اند.

این نقشه به عنوان نقشه پایه برای سایر نقشه‌ها و تفاسیر در نظر گرفته شده است.^(۱) (نقشه

شماره ۸)

- نقشه گسلهای خطرواره‌های ژئوفیزیکی (نقشه شماره ۹)

- نقشه محدوده‌های توده‌های نفوذی کم عمق (نقشه شماره ۱۰)

(۱) م. علوی ۱۳۷۸ - بررسیهای ژئوفیزیک هوایی به روشهای مغناطیس سنگی، رادیومتری و مقاومت سنگی در ورقه ۱:۱۰۰،۰۰۰ پاریز

PARIZ



30° 00'

29° 55'

29° 50'

29° 45'

29° 40'

29° 35'

29° 30'

55° 30'

55° 40'

55° 50'

56° 00'

Aeromagnetic
First derivative of
Magnetics

(flight line spacing 200m)

Legend

-10.2985 - -8.5865
-8.5865 - -6.8746
-6.8746 - -5.1627
-5.1627 - -3.4507
-3.4507 - -1.7388
-1.7388 - 0.0269
0.0269 - 1.6851
1.6851 - 3.3970
3.3970 - 5.1089
5.1089 - 6.8209
6.8209 - 8.5328
8.5328 - 10.2447
10.2447 - 11.9567
11.9567 - 13.6686
13.6686 - 15.3805
15.3805 - 17.0925
17.0925 - 18.8044



Scale 1:350 000
km 0 10 km

G.I.S Group

No. 6

PARIZ

30° 00'

29° 55'

29° 50'

29° 45'

29° 40'

29° 35'

29° 30'

55° 30'

55° 40'

55° 50'

56° 00'



Aeromagnetic Distribution of Potassium (flight line spacing 200m)

Legend

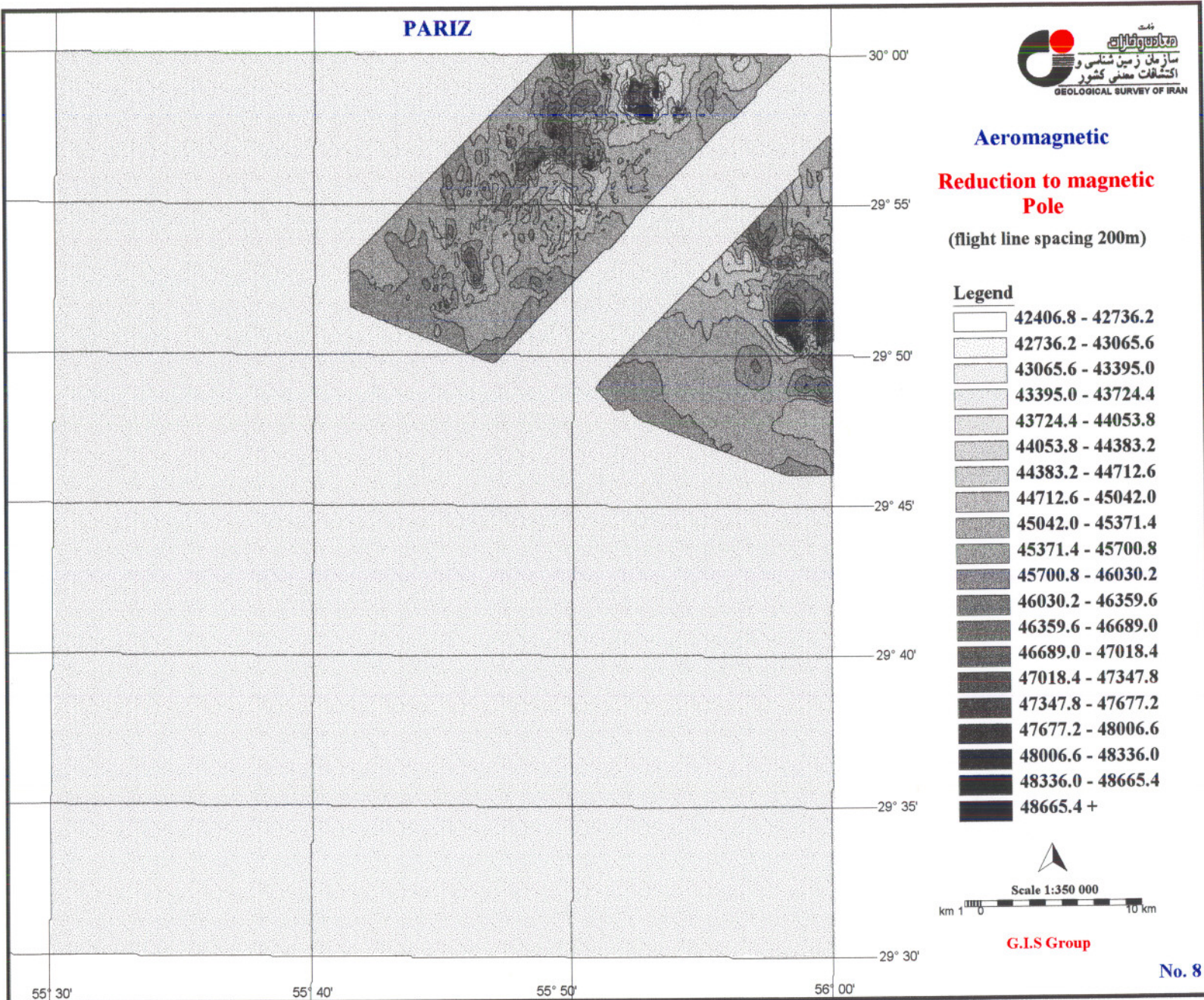
70.685 - 84.264
84.264 - 97.842
97.842 - 111.421
111.421 - 125.000
125.000 - 138.579
138.579 - 152.158
152.158 - 165.736
165.736 - 179.315
179.315 - 192.894
192.894 - 206.473
206.473 - 220.052
220.052 - 233.630
233.630 - 247.209
247.209 - 260.788
260.788 - 274.367
274.367 - 287.946
287.946 - 301.524
301.524 - 315.103
315.103 - 328.682
328.682 +

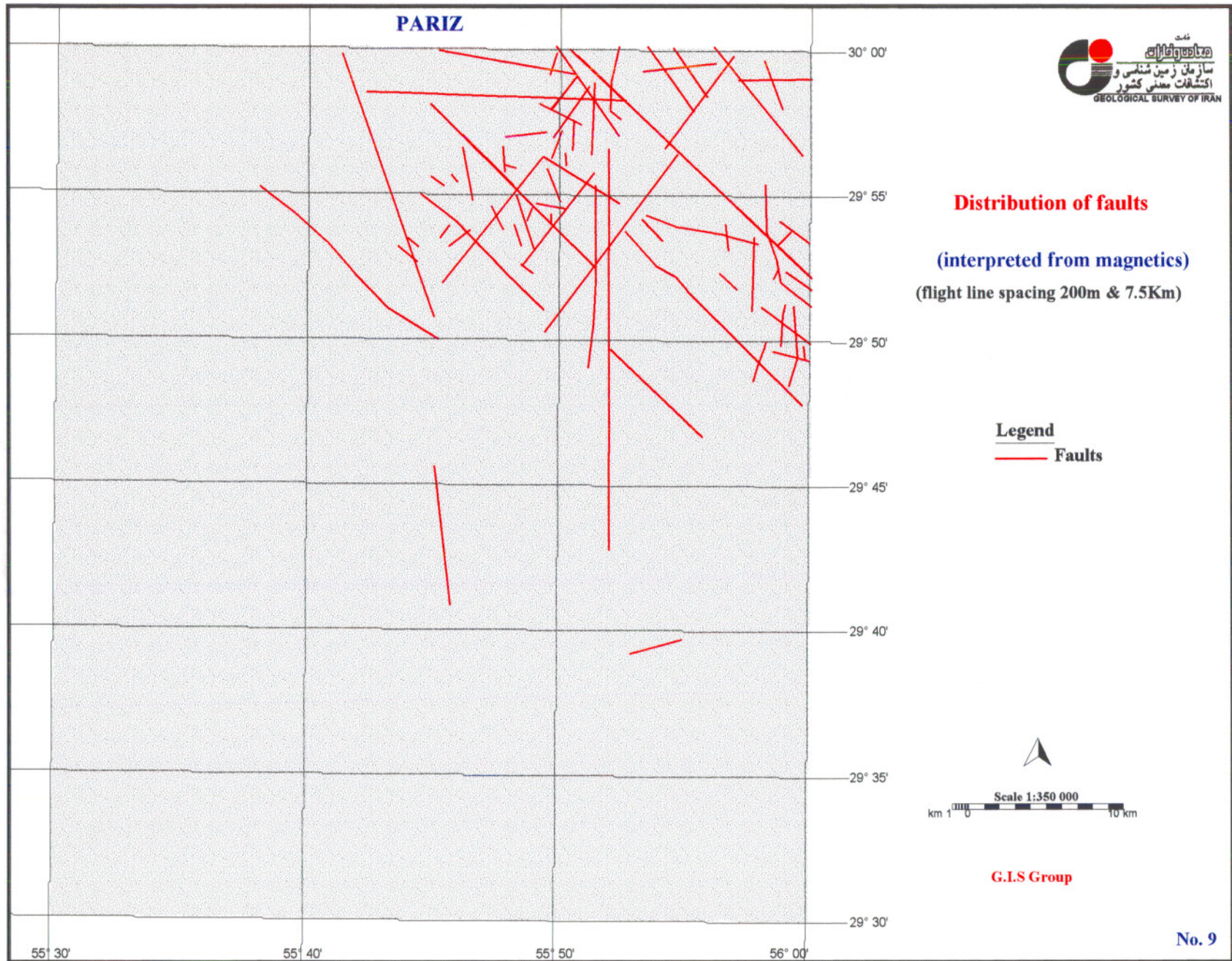


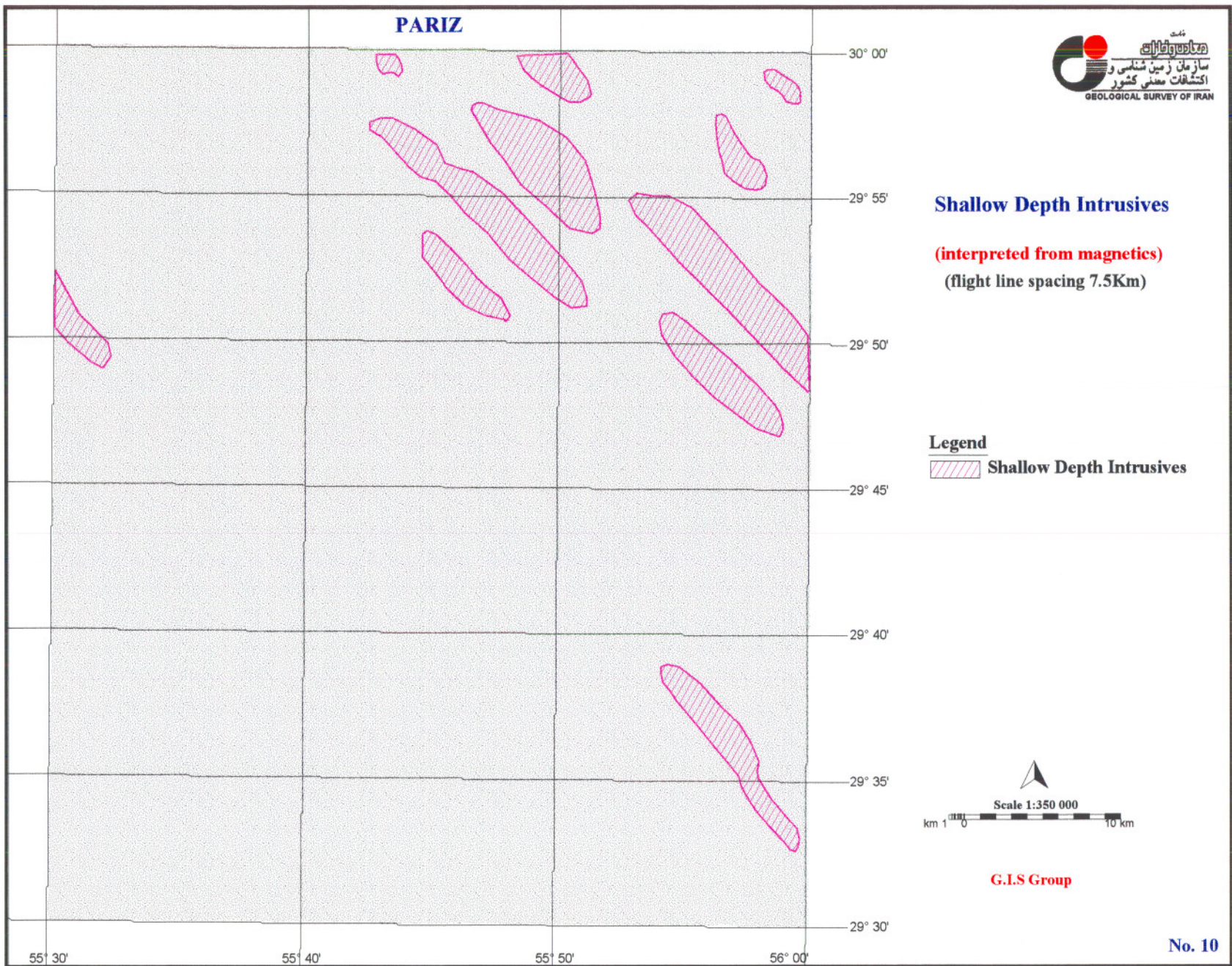
Scale 1:350 000
km 0 10 km

G.I.S Group

No. 7







- نقشه محدوده‌های امیدبخش ژئوفیزیکی (نقشه شماره ۱۱)

- نقشه Target area ژئوفیزیکی (نقشه شماره ۱۲)

پس از تفکیک تمامی نواحی و شناسایی آنها، مناطق پرپتانسیل شامل توده‌های کم عمق و عمیق و نیز خطواره‌ها با یکدیگر تلفیق شده و نقشه تفسیری - تکمیلی ارائه می‌گردد که اطلاعات مورد نیاز به تفکیک از این نواحی استخراج می‌گردد.

۴-۱-۲- داده‌های ژئوشیمی اکتشافی

عملیات طراحی شبکه نمونه برداری و نمونه برداری، آنالیز ژئوشیمیایی و مطالعه کانی سنگین نمونه‌های برداشت شده در محدوده برگه ۱:۱۰۰،۰۰۰ پاریز توسط کارشناسان کشور جمهوری چک انجام گرفته که گزارش آن در سال ۱۳۷۷ ارائه شده است. بر طبق گزارش کارشناسان فوق تعداد ۳۳۳ نمونه کانی سنگین و ۳۹۴ نمونه ژئوشیمی از منطقه برداشت گردیده است.

نمونه‌های کانی سنگین جهت مطالعه به دو جزء تقسیم شده‌اند، بخش ۲/۱۵ میلی‌متر جهت مطالعات کانی سنگین و بخش کوچکتر از ۱/۱۵ میلی‌متر بنام جزء دانه ریز جهت انجام اندازه‌گیریهای شیمیایی، که در نتیجه دو سری داده ژئوشیمیایی و یک سری نتایج مطالعات کانی سنگین برای این محدوده ارائه شده است.

در این برگه پس از بررسی مجدد آنالیزهای شیمیایی و کانی سنگین گزارش شده توسط چکها، پردازش مجدد بر روی داده‌ها انجام گرفت و در نتیجه آن دو نقشه شامل یک نقشه ترکیب نتایج آماره U بر روی ضرایب غنی شدگی و رگرسیون چند متغیره آنها برای داده‌های ژئوشیمیایی و همین نقشه برای داده‌های جزء دانه ریز کانی سنگین تهیه شده است.

با در نظر گرفتن یک درصد بالای مقادیر حاصله بعنوان مناطق امیدبخش، در هر نقشه محدوده‌هایی مشخص گردید که با تلفیق محدوده‌های فوق با یکدیگر نقشه مناطق امیدبخش ژئوشیمی

PARIZ



-30° 00'

-29° 55'

Promising Area of Geophysics

(flight line spacing 7.5Km)

-29° 50'

-29° 45'

-29° 40'

-29° 35'

Legend
promising area



Scale 1:350 000
km 0 10 km

G.I.S Group

55° 30'

55° 40'

55° 50'

56° 00'

No. 11

PARIZ



30° 00'

29° 55'

29° 50'

29° 45'

29° 40'

29° 35'

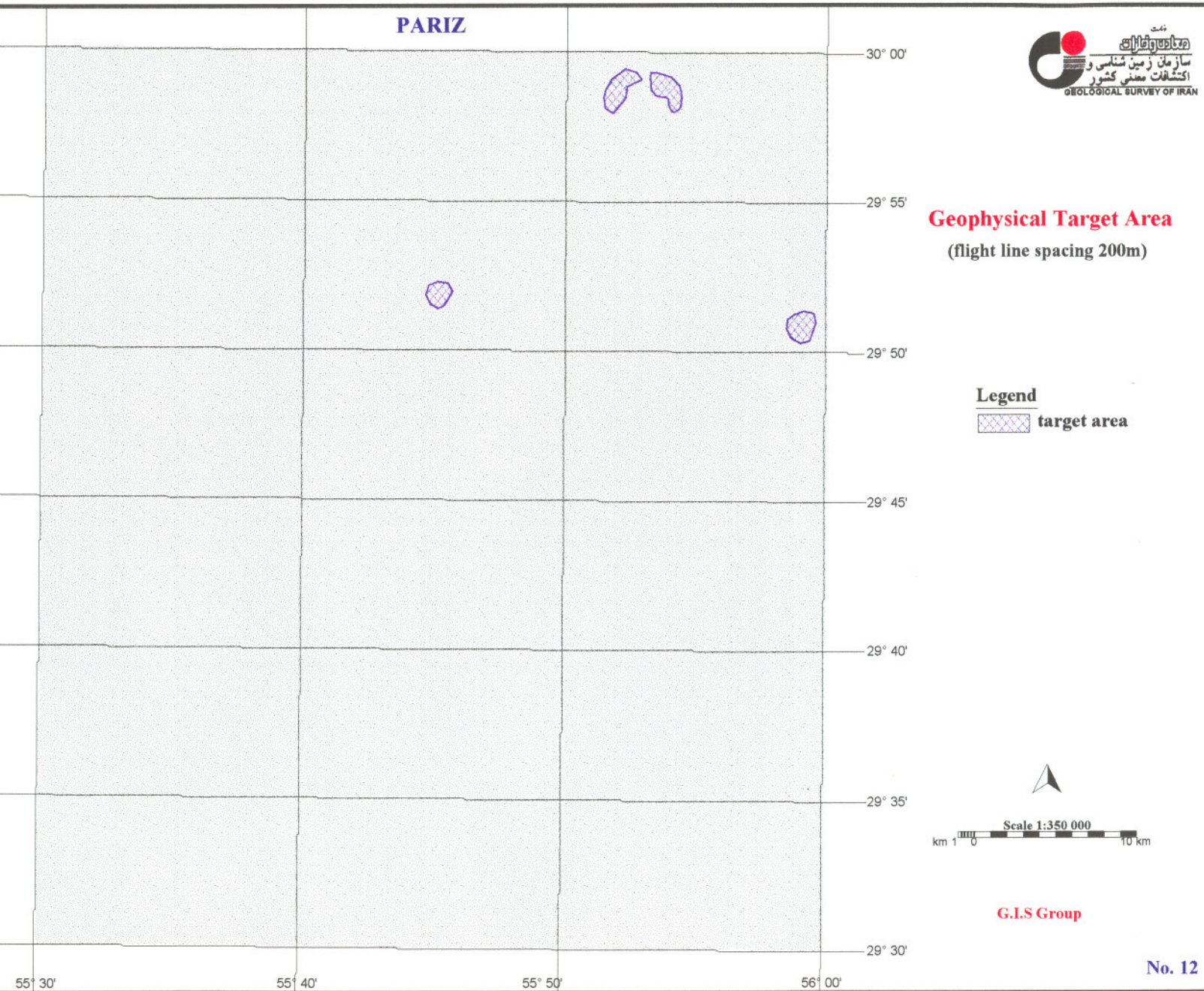
29° 30'

Geophysical Target Area

(flight line spacing 200m)

Legend

 target area



G.I.S Group

No. 12

تهیه شد.^(۱)

لایه‌های پردازش شده ژئوشیمی اکتشافی که مورد استفاده قرار گرفته است (نقشه شماره ۱۳) به

شرح ذیل میباشد:

- محدوده‌های آنومالیهای ژئوشیمیایی عنصر مس و عناصر ردياب آن
- محدوده‌های ناهنجاریهای کانی سنگین عنصر مس و عناصر ردياب آن
- محدوده‌های امیدبخش ژئوشیمی مربوط به عنصر مس و عناصر ردياب آن

۱-۲- داده‌های دورسنجد

از دیگر داده‌های مورد استفاده در این بررسی داده‌های رقومی ماهواره‌ای هستند.

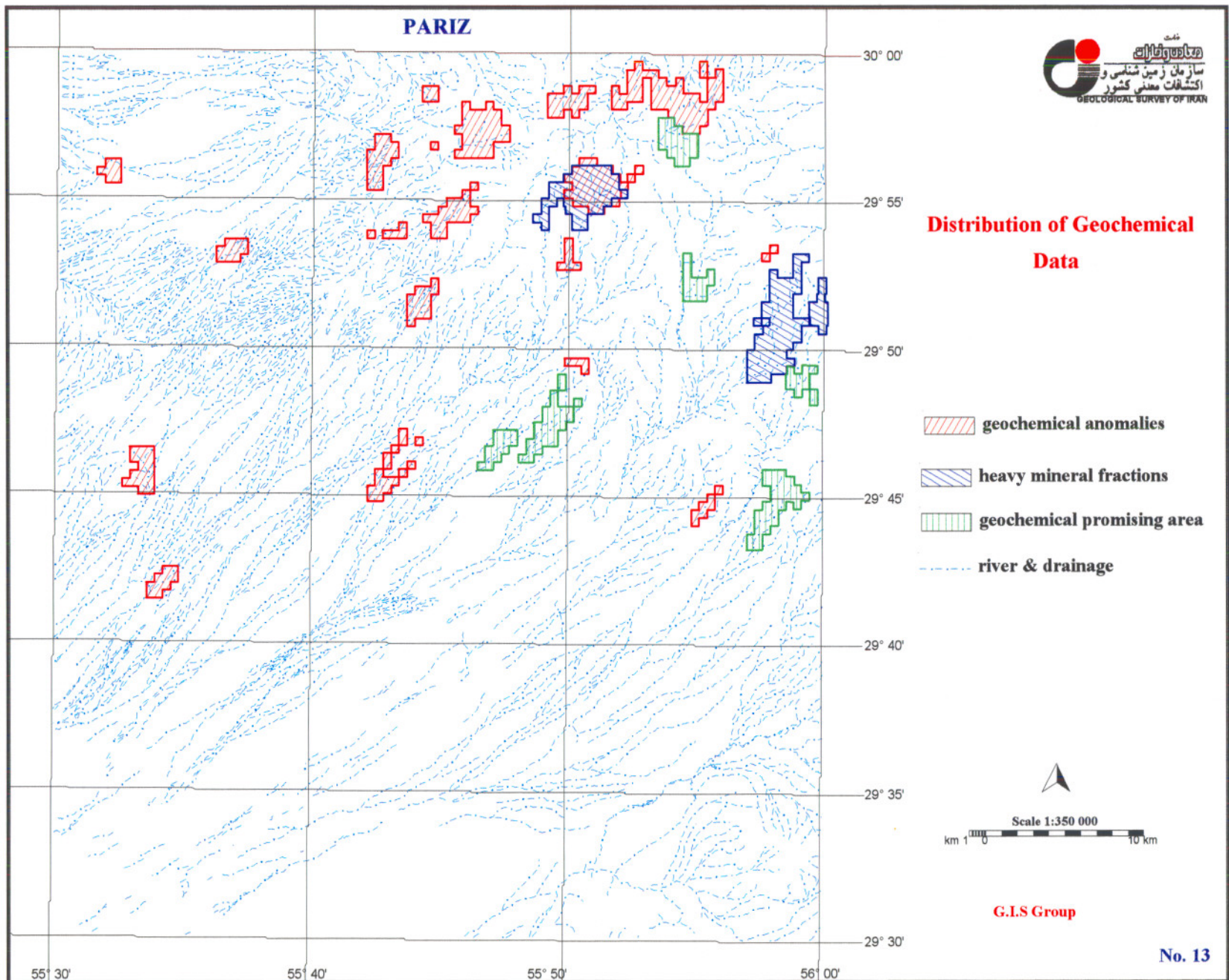
ورقه ۱:۱۰۰،۰۰۰ پاریز را بخشی از داده‌های TM ماهواره لندست به شماره گذر ۱۶۰ و ردیف ۳۹ و گذر ۱۶۱ و ردیف ۳۹ مربوط به سال ۱۹۸۹ پوشش میدهد. این داده‌ها در هفت باند طول موجی و با قدرت تفکیک زمینی ۳۰ متر در باندهای ۱، ۲، ۳، ۴، ۵، ۷ و ۱۲۰ متر در باند ۶ اخذ می‌گردد که توان ارائه اطلاعاتی در مقیاس ۱:۱۰۰،۰۰۰ را دارد.

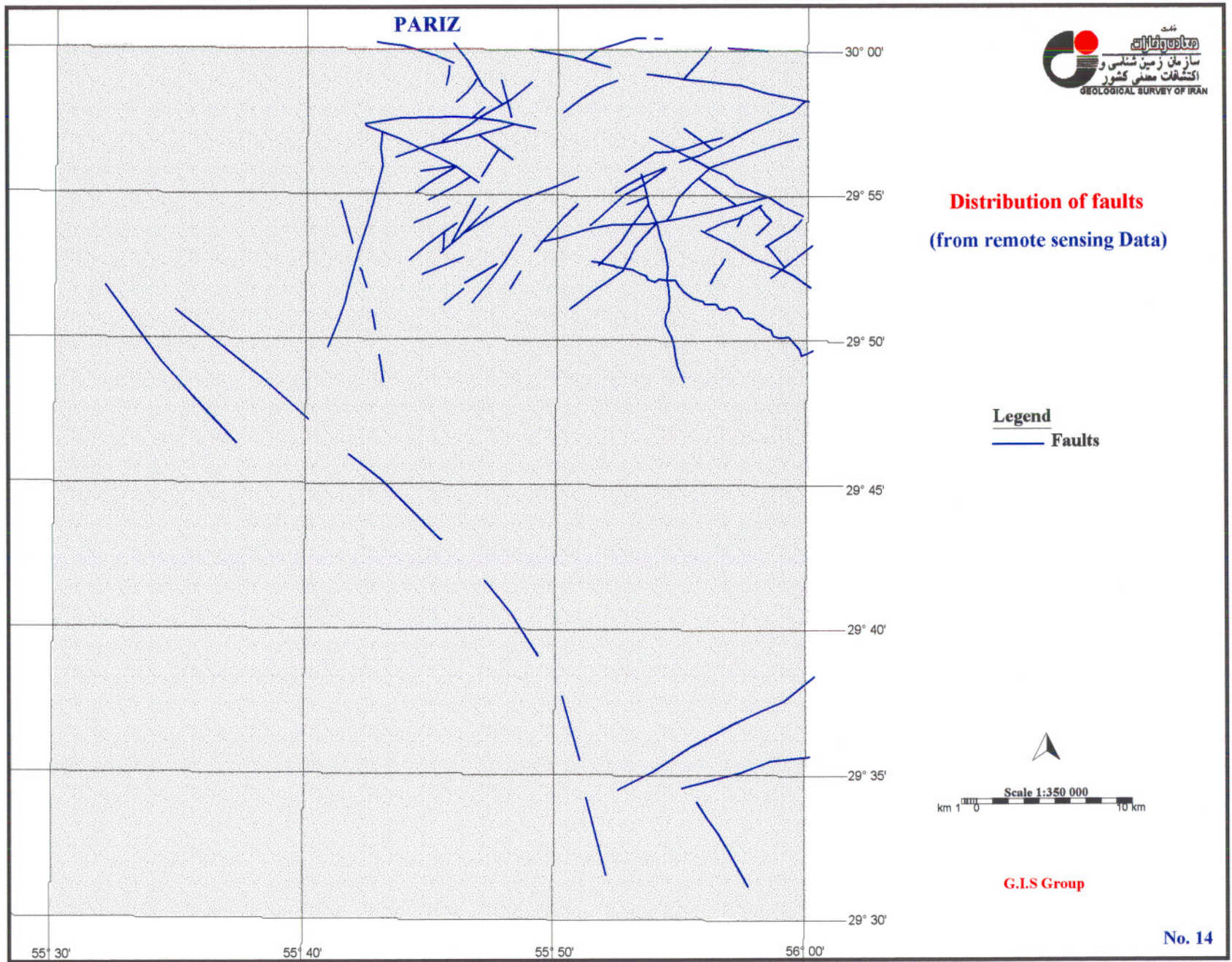
با آگاهی از بازتاب طیفی مواد گوناگون در طول موج‌های مختلف و استفاده از روش‌های مختلف پردازش تصاویر، باندهای ویژه‌ای مانند باندهای فیلتره و نسبتی و... ساخته شده است که از ترکیب این باندها و باندهای ساده در محیط RGB و IHS تصاویر رنگی مختلفی ایجاد می‌شود که واحدهای لیتوژیکی، شکستگیها، زون‌های دگرسانی و ساختهای ویژه سنگهای آذرین که در ارتباط با سیستم‌های پرفیری و یا طلای اپی‌ترمال هستند را بهتر نمایش می‌دهند.^(۲)

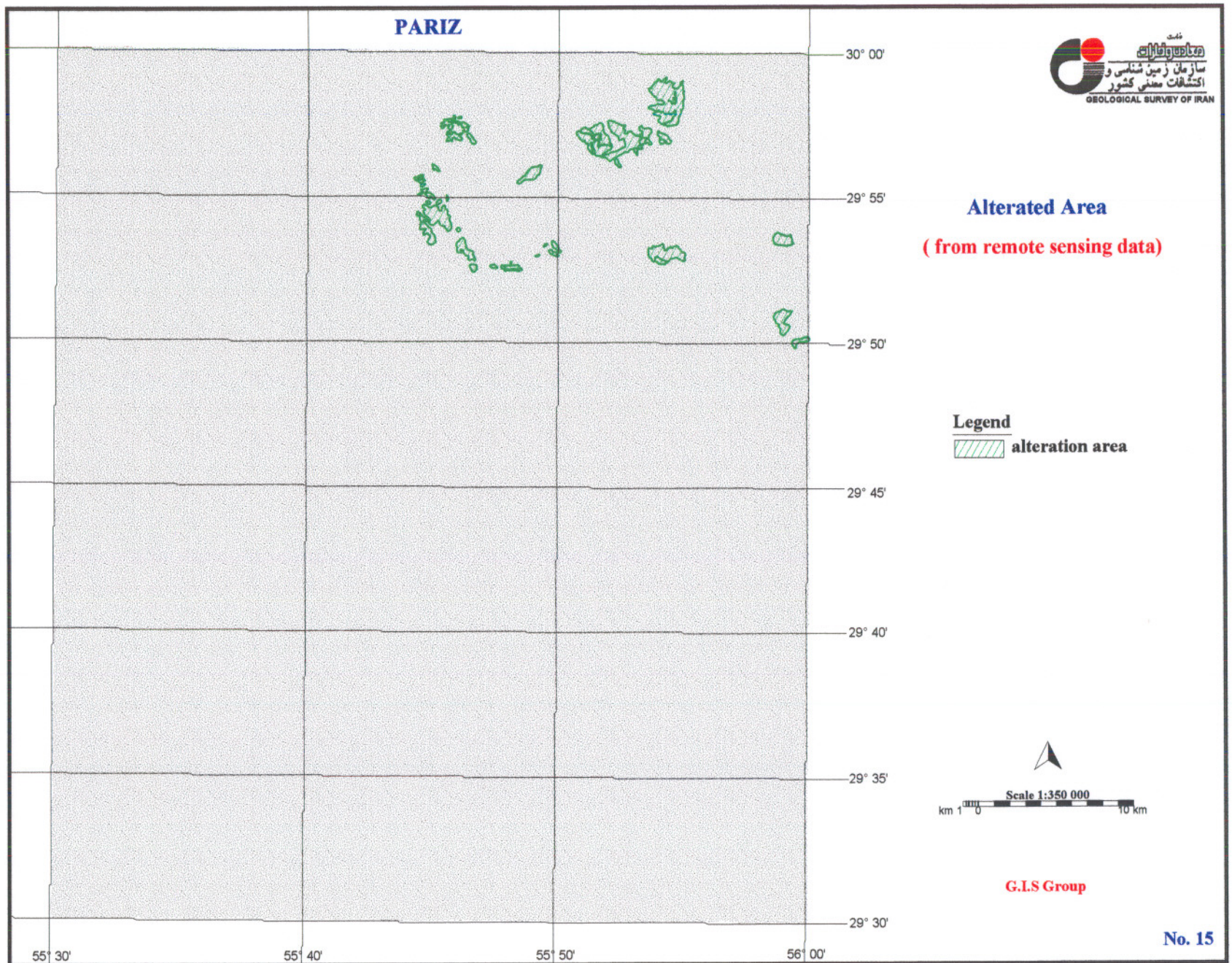
اطلاعات دورسنجد استفاده شده در این بررسی شامل گسله‌ها (نقشه شماره ۱۴) و مناطق دگرسانی ارائه شده که شامل آلتراسیونهای سیلیسی و آرژیکی هستند (نقشه شماره ۱۵) میباشد.

(۱) هندی و همکاران ۱۳۷۸ - گزارش شرح خدمات ژئوشیمی طرح اکتشاف سراسری ذخایر معدنی در کمربند ارومیه - دختر

(۲) س. مهدیزاده تهرانی و همکاران ۱۳۷۸ - بررسیهای دورسنجدی در ورقه ۱:۱۰۰،۰۰۰ پاریز (گزارش طرح اکتشاف سراسری ذخایر معدنی در کمربند ارومیه - دختر)







۲-۲- پردازش داده‌ها و تهیه نقشه‌های نشانگر مربوطه

به دنبال جمع‌آوری نمودن داده‌های مورد نیاز در یک پروژه سیستم اطلاعات جغرافیایی همانطور که اشاره شد این اطلاعات می‌بایست مورد پردازش قرار گیرند، منظور از پردازش داده‌ها نگاهی جهت دار به هر دسته از داده‌ها است که به موجب آن بتوان نقش سودمند آن‌گروه اطلاعات را در مسیر دستیابی به هدف نهایی استخراج نمود، نتیجه این عمل نقشه‌هایی خواهد بود که به آنها "نقشه‌های نشانگر" اطلاق می‌شود. بنابراین برای هر سری از داده‌ها بر اساس هدف مورد نظر می‌توان یک یا چند نقشه نشانگر تهیه کرد. از آنجاکه از تلفیق نقشه‌های مذکور در نهایت نقشه پتانسیل مواد معدنی حاصل می‌شود، لذا هر چه این نقشه‌های نشانگر با دقت بیشتر و روش‌های مناسب‌تری تهیه گردند نقشه نهایی نیز از دقت بالاتری برخوردار خواهد بود.

نقشه‌های نشانگر می‌توانند به صورت دو تایی^(۱) (دارای دو کلاس) یا به صورت چند کلاسی^(۲) تهیه شده و مورد استفاده قرار گیرند، نقشه‌های دو تایی به این معناست که مناطق با ارزش مورد نظر با کلاس مثلاً ۲ و مناطق دیگر با کلاس یک مشخص می‌گردند، اما در نقشه‌های چند کلاسی عارضه‌ها می‌توانند از گستره ارزش دار و سیعیتری برخوردار باشند، محاسبه وزن‌های مربوط به هر نقشه نشانگر (یا کلاس‌های آنها) می‌تواند با تکیه بر داده‌های موجود یا تکیه بر نظر شخص یا اشخاص متخصص و یا ترکیبی از هر دو صورت گیرد که در هر مورد روش‌های مختلفی برای وزن دادن وجود دارد.

وزن‌های لازم برای نسبت دادن به نقشه‌ها و کلاس‌های آنها یا بر اساس یک پیش مرحله آنالیز، ارتباط محل کانسارهای شناخته شده ناحیه با کلاس‌های نقشه‌های مختلف انجام می‌گیرد، یا اینکه با استفاده از قضاوت متخصصین مربوط به هر شاخه علوم استفاده شده در نقشه‌های مختلف تصمیم‌گیری می‌شود. (بونم کارت، ۱۹۹۴)

در این بررسی در مواردی که ملاکهای مورد نظر حالت قطعی^(۳) داشته است از منطق بولی^(۴) برای

1) Binary

2) Multi-class

3) Deterministic

4) Boolean logic

تهیه برخی از نقشه‌های نشانگر استفاده شده است، در چنین مواردی چون از ملاک‌های قطعیت‌پذیر استفاده می‌شود در هر مکان مشخص یا شرط خاصی وجود دارد (۲) و یا وجود ندارد (۱) و هیچ حالت حد واسطی در نظر گرفته نمی‌شود، همچنین با استفاده از روش آماری آنالیز وزنهای نشانگر^(۱) (بونم کارتر، ۱۹۹۴) و هم بر پایه اطلاعات موجود و استفاده از نظرات متخصصین رشته‌های مختلف نقشه‌های نشانگر مورد نظر تهیه شده است.

5) Weights of Evidence

۱-۲-۲- نقشه نشانگر واحدهای زمین‌شناسی

در مورد لایه زمین‌شناسی برای وزن دادن به واحدهای سنگ شناختی منطقه به منظور مشخص شدن، اینکه کدام واحدها ارتباط مکانی بیشتری از نظر توزیع اندیسه‌های معدنی فلزی شناخته شده نشان میدهند، آنالیز وزنهای نشانگر انجام گرفته است که (جدول شماره ۱) نتایج حاصله وزنهای W^- , W^+ و C برای کلاس‌های مختلف محاسبه شده را نشان میدهد، (مساحت سلول واحد ۵/۰ کیلومترمربع در نظر گرفته شده است).

وزنهای محاسبه شده از این روش ملاکی برای همراهی مکانی بین نقاط و واحدهای نقشه میباشد، مقادیر مثبت وزنهای محاسبه شده بیانگر این است که نقاط مورد نظر بیشتر از حد اتفاق داخل واحد (کلاس) مورد نظری از نقشه قرار دارد و بر عکس مقادیر منفی برای وزنهای محاسبه شده بیانگر این است که نقاط کمتر از حد معمول در آن واحد خاص از نقشه قرار دارند، مقادیر صفر یا خیلی نزدیک به صفر بیانگر این است که نقاط مورد نظر به صورت تصادفی در واحد مورد نظر قرار گرفته است.

تفاضل این دو وزن کنtrasت ($C = W^+ - W^-$) نامیده می‌شود. کنtrasت پارامتری است که معرف وضعیت کلی همراهی نقاط مورد نظر با واحد نقشه یا عدم همراهی نقاط مورد نظر با واحد خاص از نقشه است چون اثر W^+ , W^- را توأمً برای یک واحد خاص از نقشه در نظر می‌گیرد. مقادیر محاسبه شده بین صفر تا ۵/۰ معمولاً چندان پیش‌گویی کننده و معرف نیستند، مقادیر ۵/۰ تا ۱ نسبتاً پیش‌گویی کننده و مقادیر بین ۱ و ۲ پیش‌گویی کننده خوبی هستند و اگر مقادیر محاسبه شده این وزنهای بیش از ۲ باشند قولیً پیش‌گویی کننده هستند.

برای تهیه یک نقشه نشانگر زمین‌شناسی با ارزش دوتایی با استفاده از وزنهای بدست آمده از جدول (شماره ۱) به تمامی واحدهایی که بیشترین ارتباط را با نقاط نشان میدهند یک ارزش بالای یکسان و به سایر واحدها یک ارزش پایین یکسان داده شده‌اند و نتیجه به صورت نقشه (شماره ۱۶) مشاهده می‌شود.

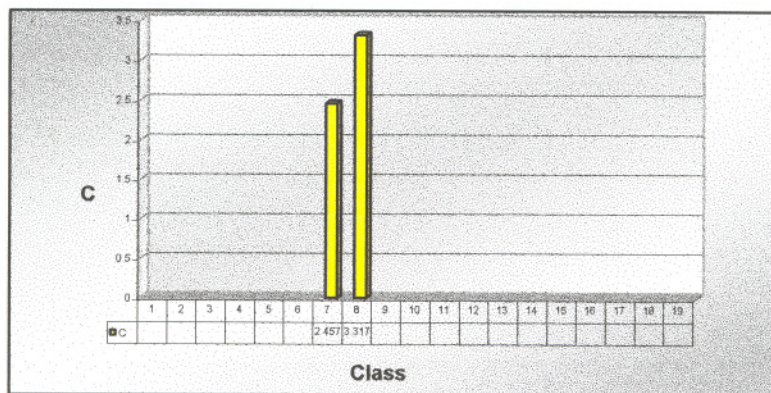
Table(1):Results of Weights of Evidence for Geological Map

Unit cell size 0.5 Km²

Selected 2 Class(7,8)

class	class	area	points	W+	s(W+)	W-	s(W-)	C	s(C)	Stud(C)
1	1	15	0							
2	2	16	0							
3	3	791	0							
4	4	0	0							
5	5	16	0							
6	6	0	0							
7	7	723	9	1.5708	0.3354	-0.8862	0.4475	2.4569	0.5592	4.3935
8	8	110	5	2.8954	0.4577	-0.4219	0.3336	3.3173	0.5664	5.857
9	9	81	0							
10	10	38	0							
11	11	5	0							
12	12	15	0							
13	13	26	0							
14	14	467	0							
15	15	2645	0							
16	16	231	0							
17	17	156	0							
18	18	3	0							
19	19	11	0							

Contrast Values for Different Classes of Geological Map



PARIZ

Binary Map of Geology

Spatial Association

- Low
- High

- Mine & Ore indications
- Geological Contacts

30° 00'

29° 55'

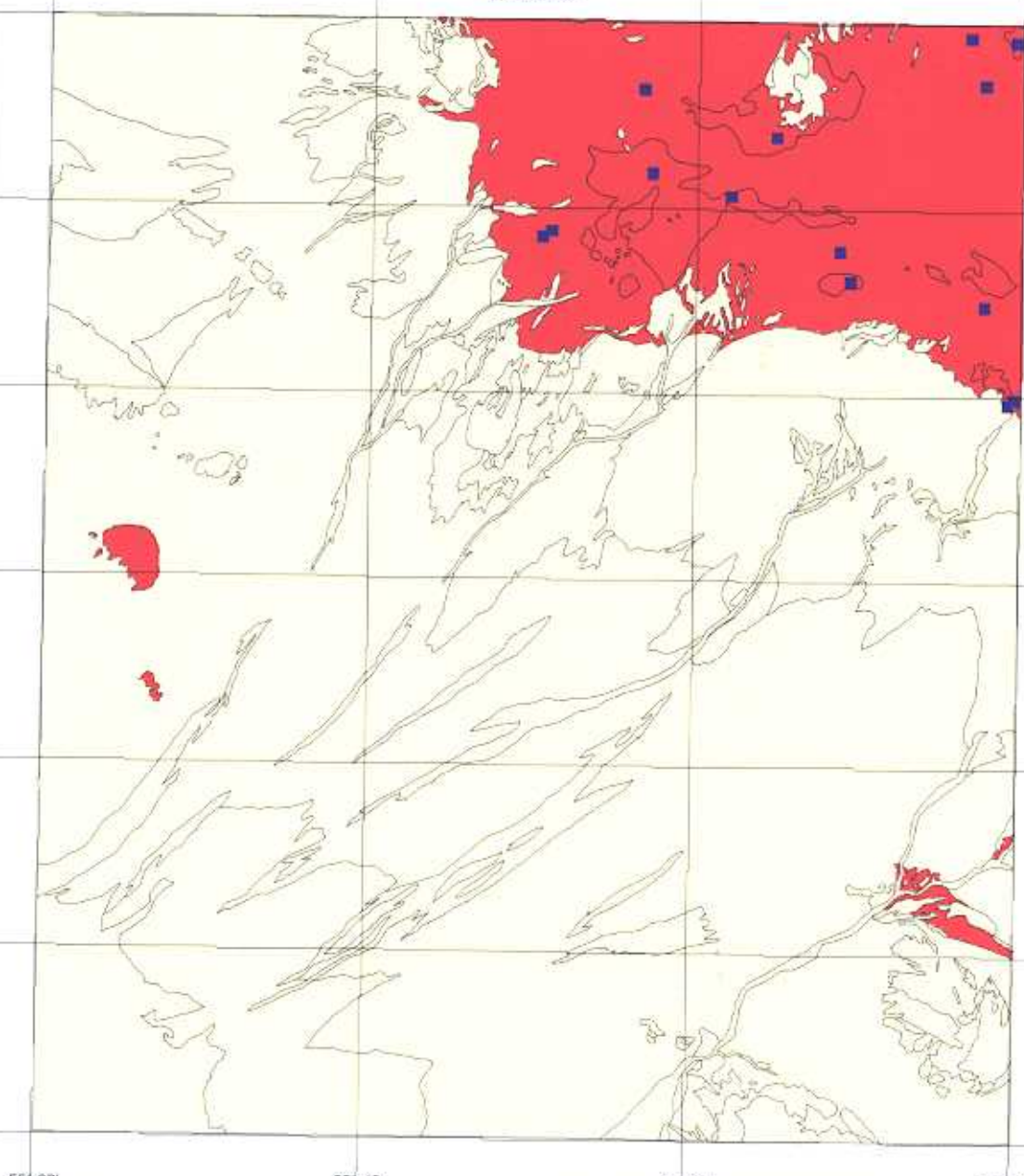
29° 50'

29° 45'

29° 40'

29° 35'

29° 30'



Scale 1:350 000
km 10 km

G.I.S Group

55° 30'

55° 40'

55° 50'

56° 00'

No. 16

۲-۲-۲- نقشه‌های نشانگر ژئوفیزیکی

از بین نقشه‌های ژئوفیزیکی پس از بررسی سه نقشه First Derivative (Potassium K Reduction to magnetic Pole, انتخاب شدند، علت این امر ارتباط بیشتر این نقشه‌ها با بخش‌های کانی‌سازی شده است.

به منظور مشخص شدن اینکه کدام کلاس از نقشه‌های فوق ارتباط مکانی بیشتری با توزیع مکانی اندیسه‌های فلزی شناخته شده نشان میدهدن، آنالیز وزنهای نشانگر انجام گرفت که جداول آنها به ترتیب شماره‌های (۴، ۳، ۲) می‌باشند.

از این جداول کنتراست‌های مناسب‌تر انتخاب شده و نقشه‌های نشانگر دوتایی مربوط به نقشه‌های فوق تهیه گردیده است (نقشه‌های شماره ۱۷، ۱۸، ۱۹)، سپس تمامی نقشه‌های مذکور با استفاده از OR منطق بولی^(۱) با هم ترکیب شده و به صورت یک نقشه نشانگر واحد دوتایی برای خواص ژئوفیزیکی درآمده‌اند. (نقشه شماره ۲۰)

همانطور که در نقشه مذکور مشاهده می‌شود مناطق مشخص شده با رنگ قرمز حدودی را نشان میدهدن که بیشترین انطباق را با نقاط معدنی داشته‌اند.

از دیگر لایه‌های اطلاعاتی ژئوفیزیکی مورد استفاده گسل‌ها، توده‌های نفوذی کم عمق و محدوده‌های امیدبخش ژئوفیزیکی می‌باشند.

گسل‌های ژئوفیزیکی به همراه گسل‌های زمین‌شناسی و دورسنجی نقشه نشانگر دیگری را تشکیل می‌دهند که در بخش مربوطه شرح داده می‌شود.

به منظور پردازش توده‌های نفوذی کم عمق، این توده‌ها در فواصل مختلف بافر شده‌اند (نقشه شماره ۲۱) و سپس از روش آماری وزنهای نشانگر مقادیر W^+ , W^- و کنتراست برای فواصل مختلف جهت انتخاب بهترین شعاع تأثیر از نظر داشتن بیشترین ارتباط با معادن و اندیس‌های معدنی محاسبه شده است، بر اساس جدول (شماره ۵) به این توده‌ها تا فاصله ۷۰۰ متری (بهترین شعاع تأثیر) یک ارزش

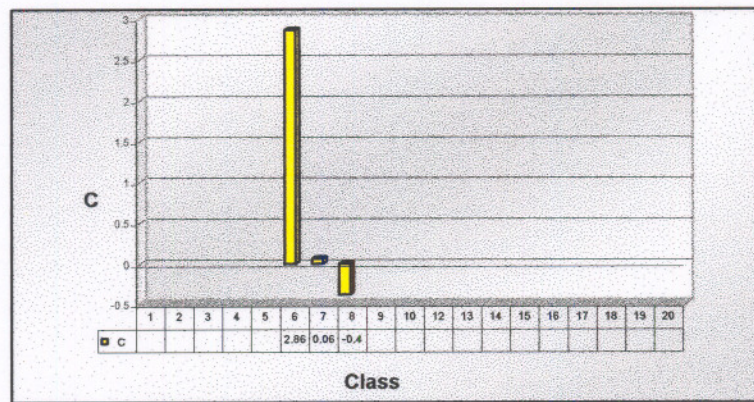
1) Boolean Logic

بالای یکسان داده شده است و نقشه‌ای دوتایی از آنها تهیه شده است. (نقشه شماره ۲۲) محدوده‌های امیدبخش ژئوفیزیکی، محدوده‌های پیشنهادی نتیجه شده از برداشت‌های ژئوفیزیکی می‌باشند که به منظور تهیه نقشه دوتایی مورد نظر آنها به این مناطق یک ارزش بالای یکسان و به سایر نواحی ارزش پایین نسبت داده شده است (نقشه شماره ۲۳) و در نهایت این نقشه به همراه سایر نقشه‌های نشانگر مورد استفاده قرار گرفته است.

Table(2):Results of Weights of Evidence for First Derivative of Magnetics
 Unit cell size 0.5 Km²
 Selected 1 class(6)

class	class	area	points	W+	s(W+)	W-	s(W-)	C	s(C)	Stud(C)
1	1	0	0							
2	2	0	0							
3	3	0	0							
4	4	0	0							
5	5	1	0							
6	6	6	1	2.749	1.0816	-0.1106	0.3553	2.8596	1.1385	2.5118
7	7	452	5	0.0279	0.4497	-0.0338	0.5026	0.0617	0.6744	0.0915
8	8	352	3	-0.2357	0.5798	0.1426	0.4108	-0.3782	0.7106	-0.5322
9	9	17	0							
10	10	3	0							
11	11	1	0							
12	12	0	0							
13	13	0	0							
14	14	0	0							
15	15	0	0							
16	16	0	0							
17	17	0	0							
18	18	0	0							
19	19	0	0							
20	20	0	0							

Contrast Values for Different Classes of First Derivative of Magnetics



PARIZ

30° 00'

29° 55'

29° 50'

29° 45'

29° 40'

29° 35'

29° 30'

55° 30'

55° 40'

55° 50'

56° 00'



**Binary Map of
First Derivative of Magnetics**

Spatial Association

Low

High

Mine & Ore indications

Scale 1:350 000
km 0 10 km

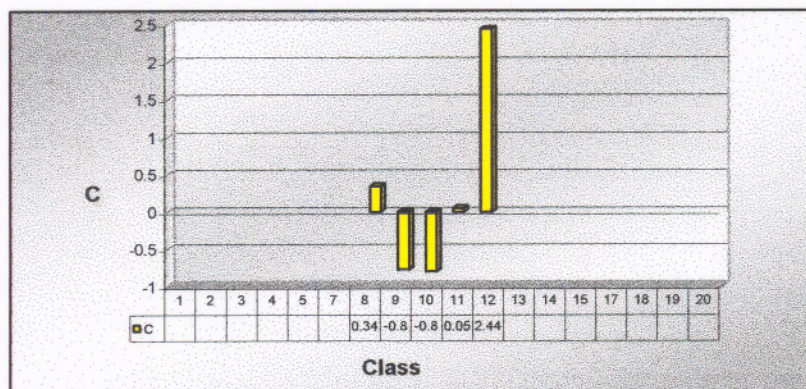
G.I.S Group

No. 17

Table(3):Results of Weights of Evidence for Reduction to Magnetic Pole
 Unit cell size 0.5 Km²
 Selected 1 class(12)

class	class	area	points	W+	s(W+)	W-	s(W-)	C	s(C)	Stud(C)
1	1	0	0							
2	2	0	0							
3	3	0	0							
4	4	0	0							
5	5	1	0							
6	6	3	0							
7	7	18	0							
8	8	68	1	0.3087	1.0074	-0.0327	0.3554	0.3414	1.0682	0.3196
9	9	176	1	-0.6478	1.0028	0.121	0.3557	-0.7688	1.0641	-0.7225
10	10	323	2	-0.5574	0.7093	0.2398	0.3806	-0.7972	0.8049	-0.9904
11	11	179	2	0.0365	0.7111	-0.0102	0.38	0.0467	0.8062	0.0579
12	12	37	3	2.0732	0.6018	-0.3626	0.4098	2.4358	0.7281	3.3456
13	13	15	0							
14	14	4	0							
15	15	2	0							
16	16	1	0							
17	17	0	0							
18	18	0	0							
19	19	0	0							
20	20	0	0							

Contrast Values for Different Classes of Reduction to Magnetic Pole



PARIZ

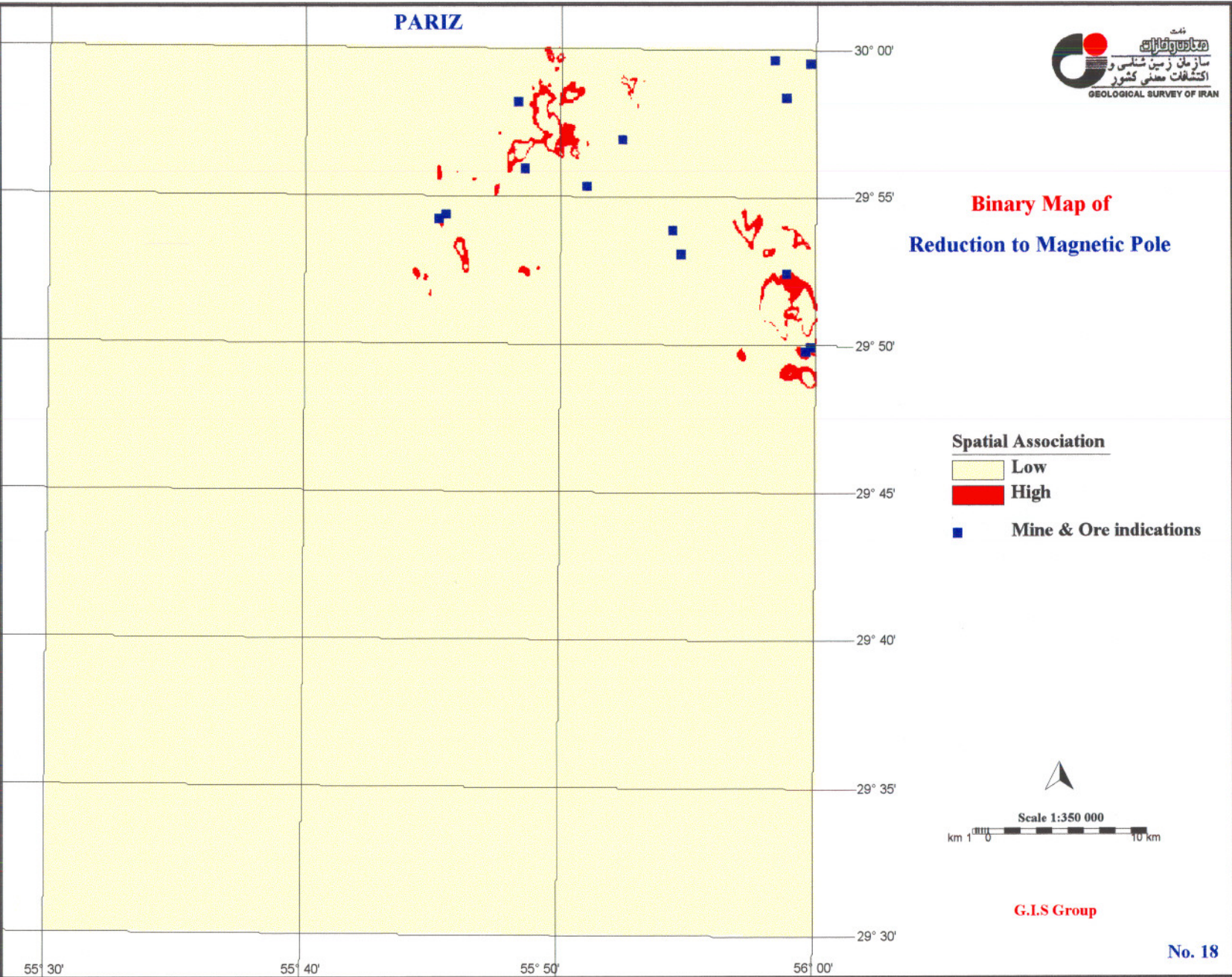


**Binary Map of
Reduction to Magnetic Pole**

Spatial Association

- Low
- High

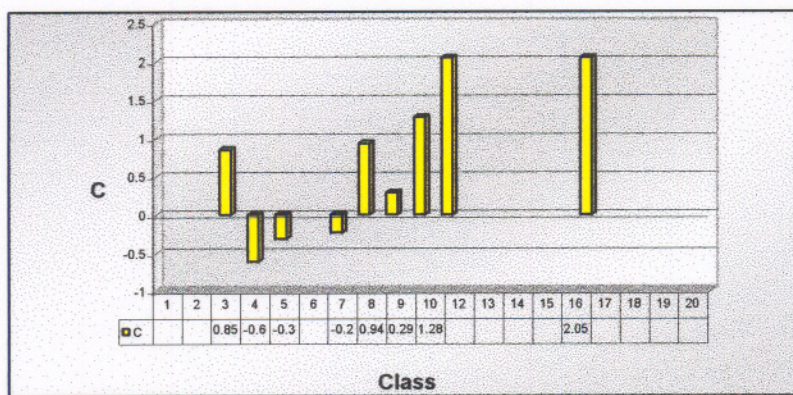
Mine & Ore indications

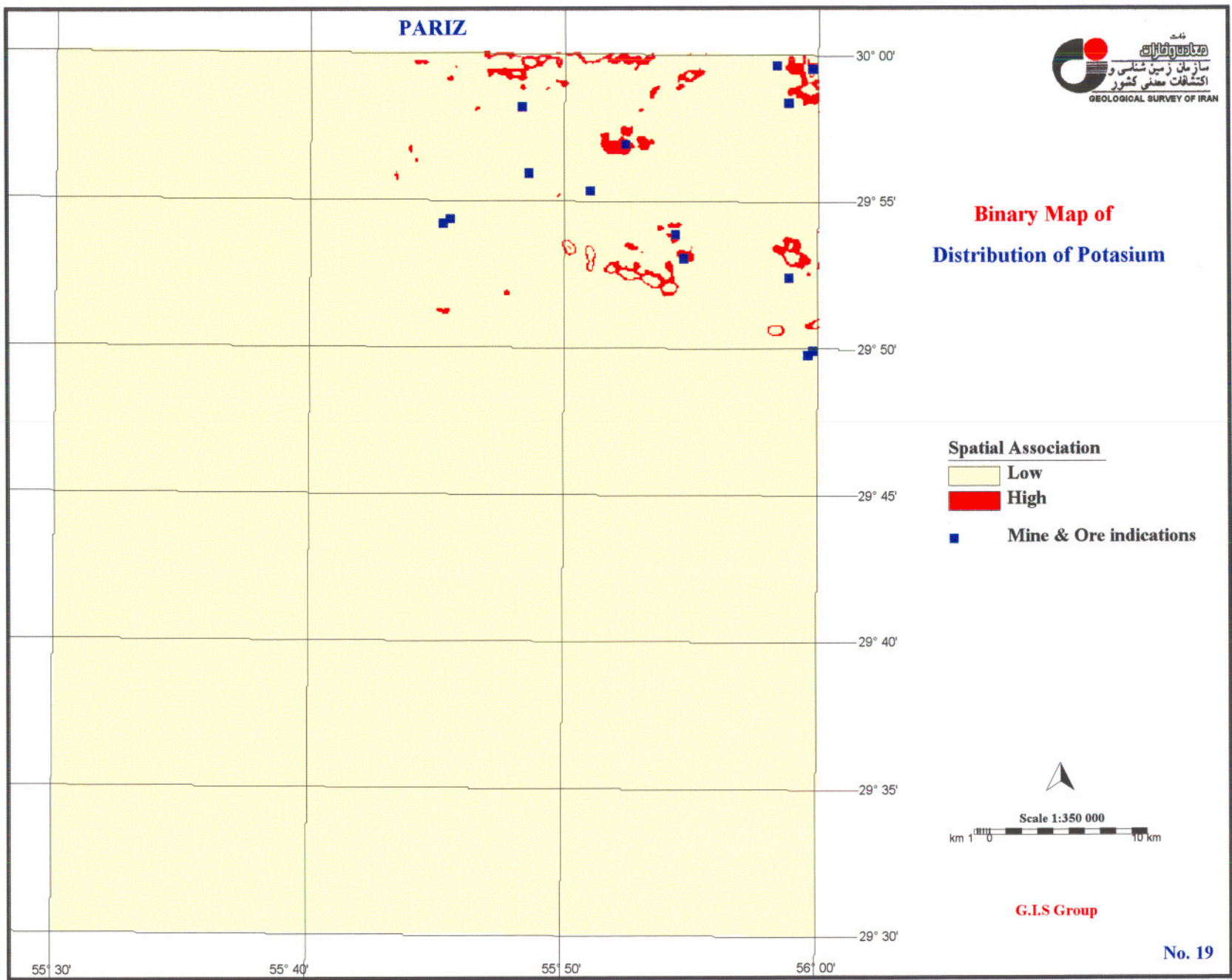


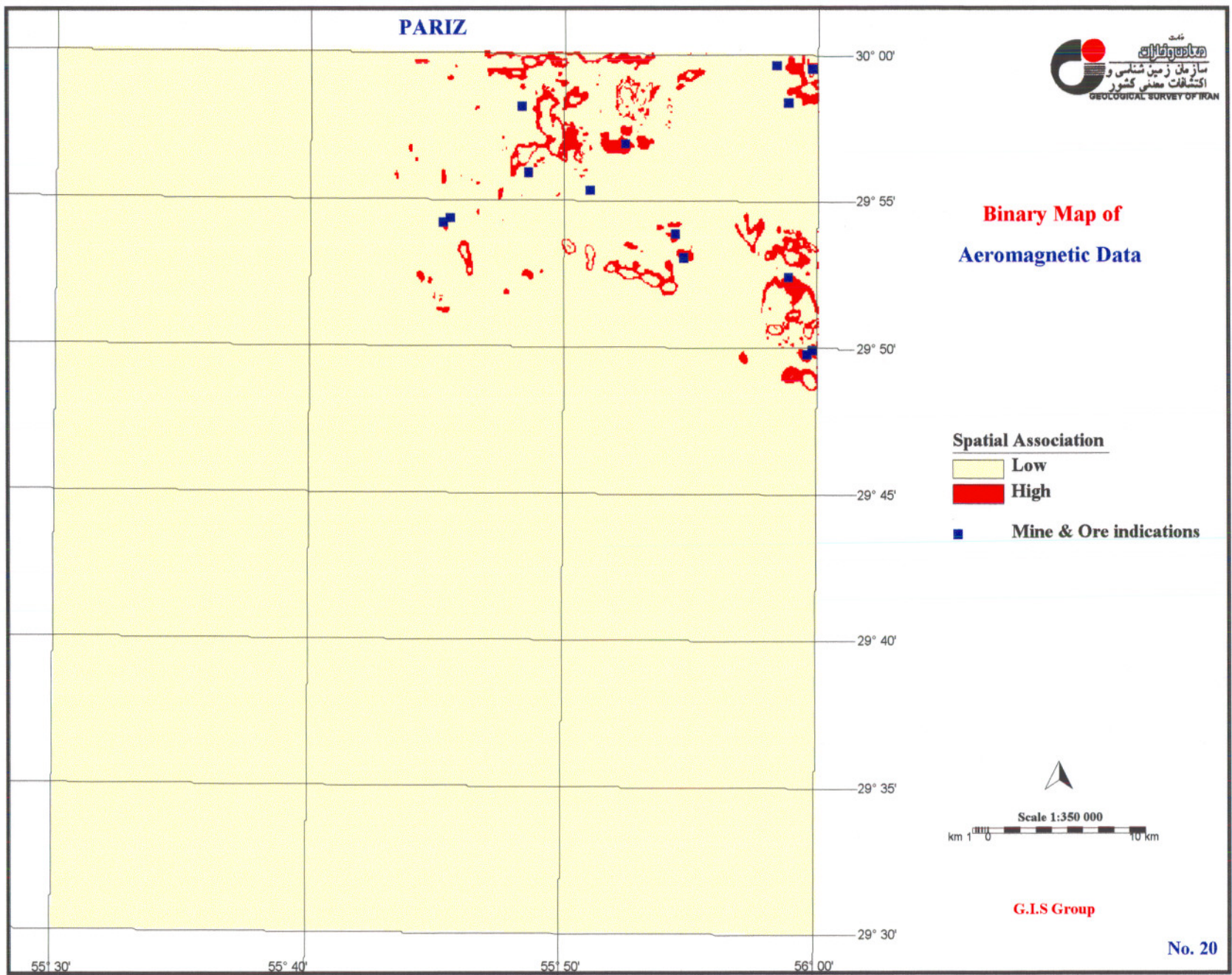
Table(4):Results of Weights of Evidence for Distribution of Potassium
 Unit cell size 0.5 Km²
 Selected 3 class(10,11,16)

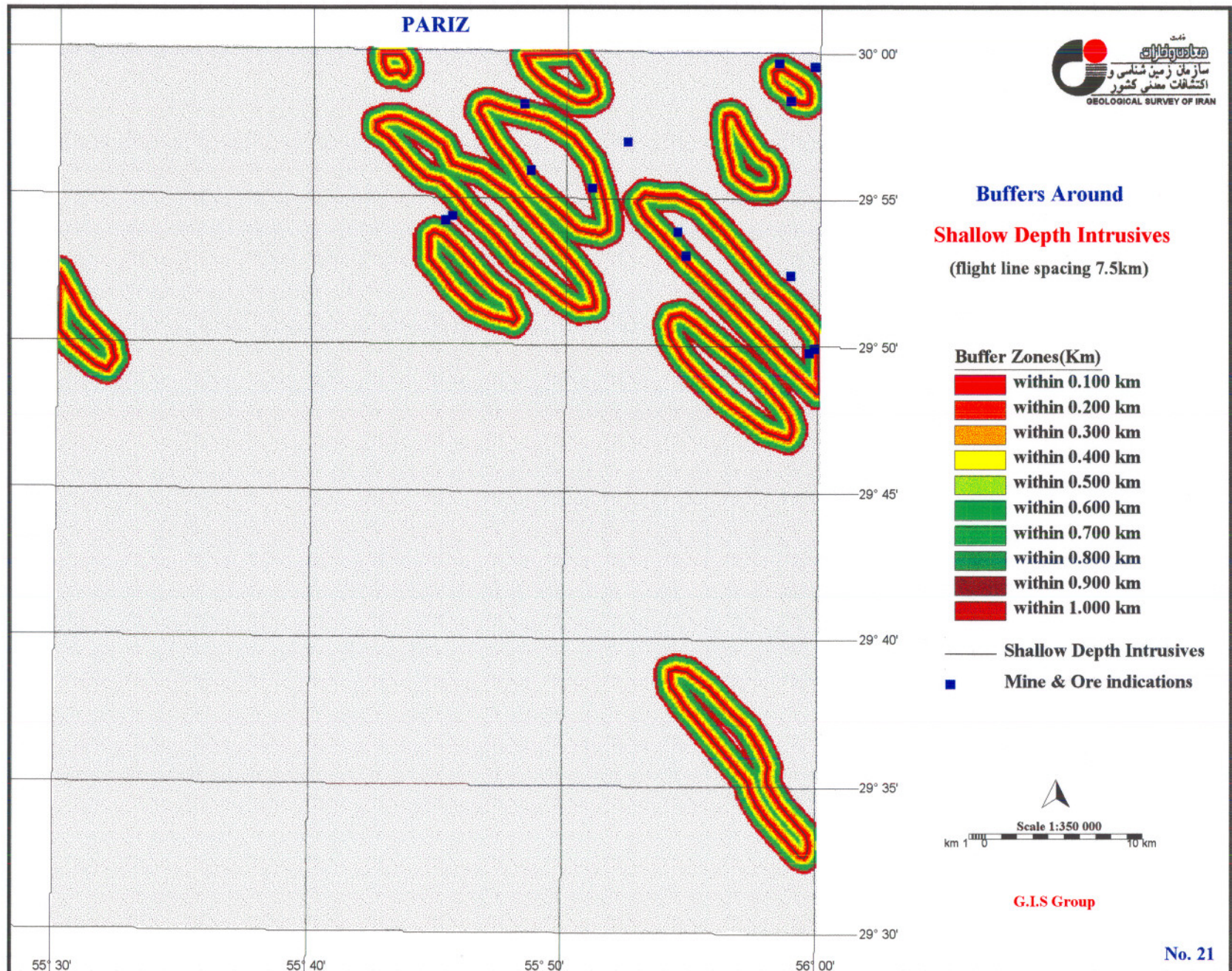
class	class	area	points	W+	s(W+)	W-	s(W-)	C	s(C)	Stud(C)
1	1	11	0							
2	2	36	0							
3	3	85	2	0.7664	0.7155	-0.0855	0.2901	0.8519	0.7721	1.1033
4	4	155	1	-0.544	1.0032	0.0572	0.279	-0.6012	1.0413	-0.5774
5	5	234	2	-0.2569	0.7101	0.05	0.2904	-0.3069	0.7672	-0.4001
6	6	278	0							
7	7	219	2	-0.1908	0.7104	0.0357	0.2903	-0.2265	0.7674	-0.2951
8	8	124	3	0.7966	0.5844	-0.1396	0.303	0.9361	0.6583	1.4221
9	9	69	1	0.2726	1.0073	-0.0182	0.2789	0.2908	1.0452	0.2783
10	10	27	1	1.224	1.0188	-0.0529	0.2788	1.2768	1.0562	1.2089
11	11	13	1	1.9841	1.0397	-0.0642	0.2788	2.0483	1.0765	1.9029
12	12	6	0							
13	13	3	0							
14	14	2	0							
15	15	1	0							
16	16	0	1	1.9841	1.0397	-0.0642	0.2788	2.0483	1.0765	1.9029
17	17	0	0							
18	18	0	0							
19	19	0	0							
20	20	0	0							

Contrast Values for Different Classes of Distribution of Potassium





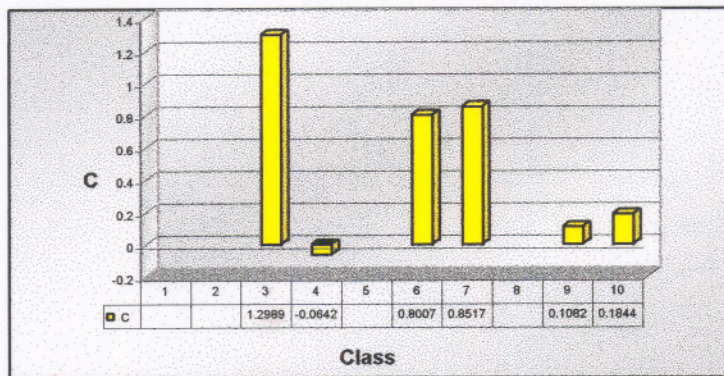


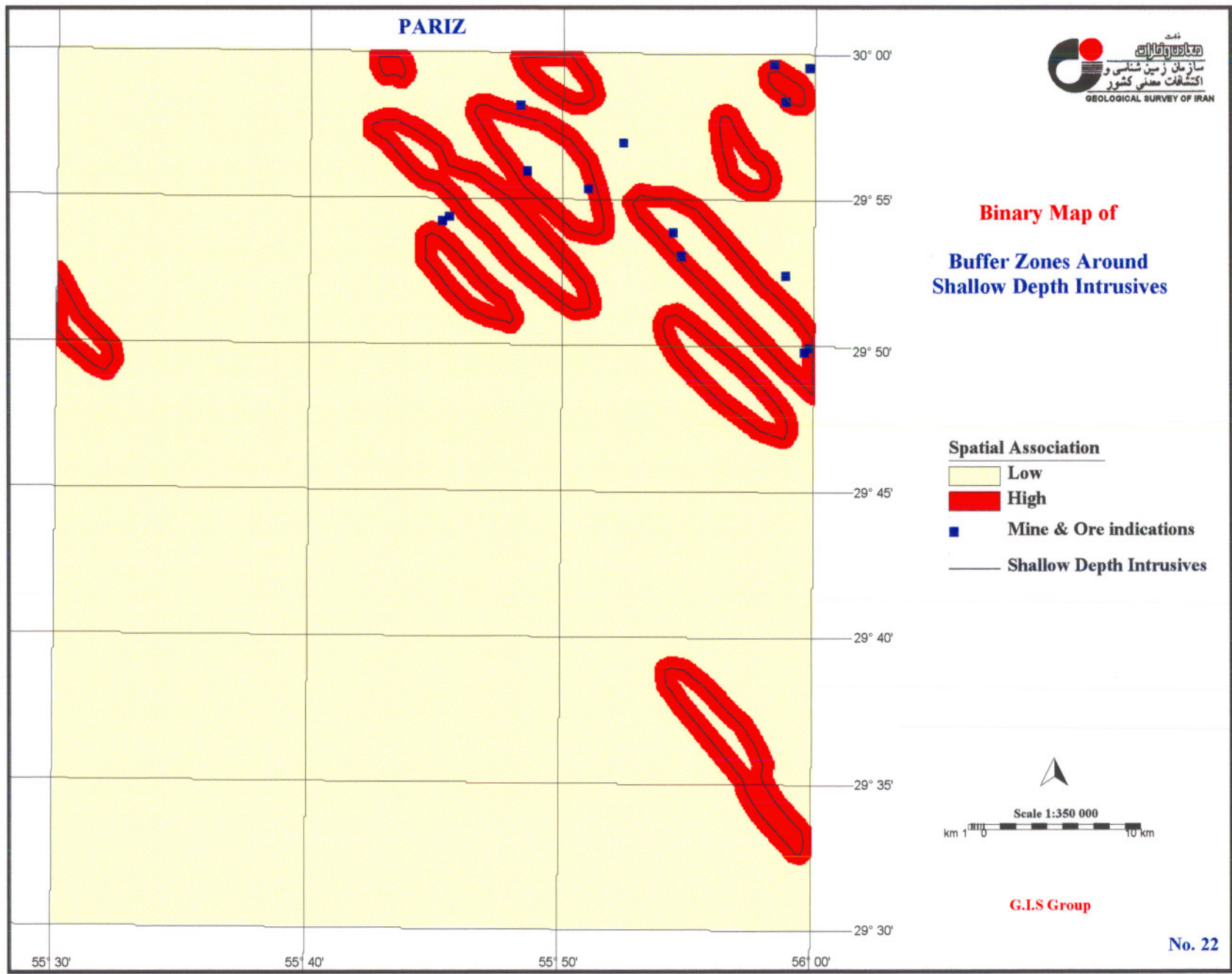


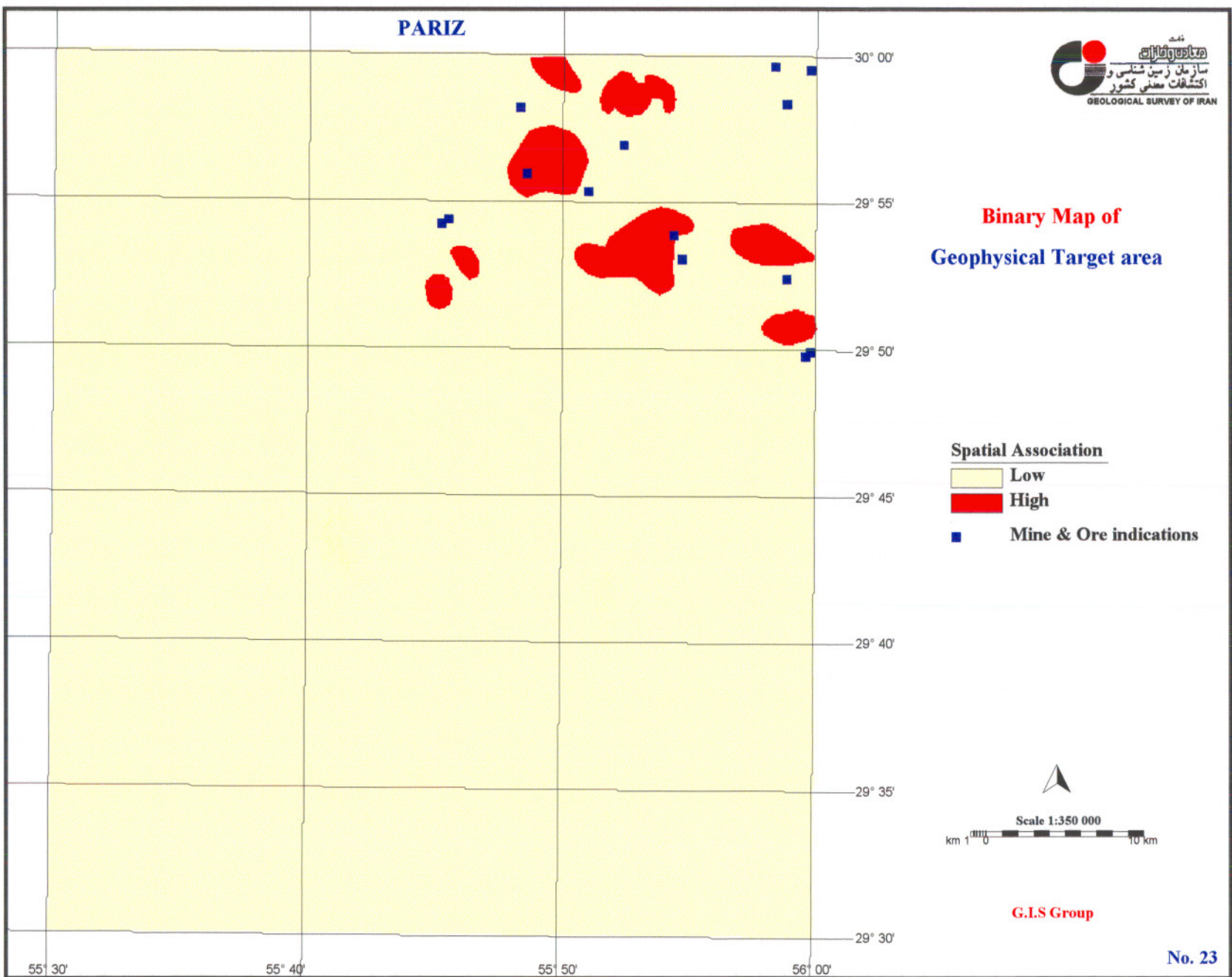
Table(5):Results of Weights of Evidence for Shallow Depth Intrusives
 Unit cell size 0.5 Km²
 Selected 7 class(1,2,3,4,5,6,7)

class	class	area	points	W+	s(W+)	W-	s(W-)	C	s(C)	Stud(C)
1	1	88	0							
2	2	87	0							
3	3	86	3	1.0528	0.5876	-0.2461	0.3798	1.2989	0.6996	1.8566
4	4	85	1	-0.0576	1.0059	0.0066	0.3354	-0.0642	1.0603	-0.0606
5	5	81	0							
6	6	82	2	0.684	0.7158	-0.1168	0.3555	0.8007	0.7992	1.0019
7	7	79	2	0.7299	0.7162	-0.1218	0.3555	0.8517	0.7996	1.0652
8	8	76	0							
9	9	73	1	0.0979	1.0069	-0.0103	0.3354	0.1082	1.0612	0.102
10	10	68	1	0.1674	1.0073	-0.017	0.3354	0.1844	1.0617	0.1737

Contrast Values for Different Classes of Shallow Depth Intrusives







۳-۲-۲- نقشه نشانگر داده‌های ژئوشیمی

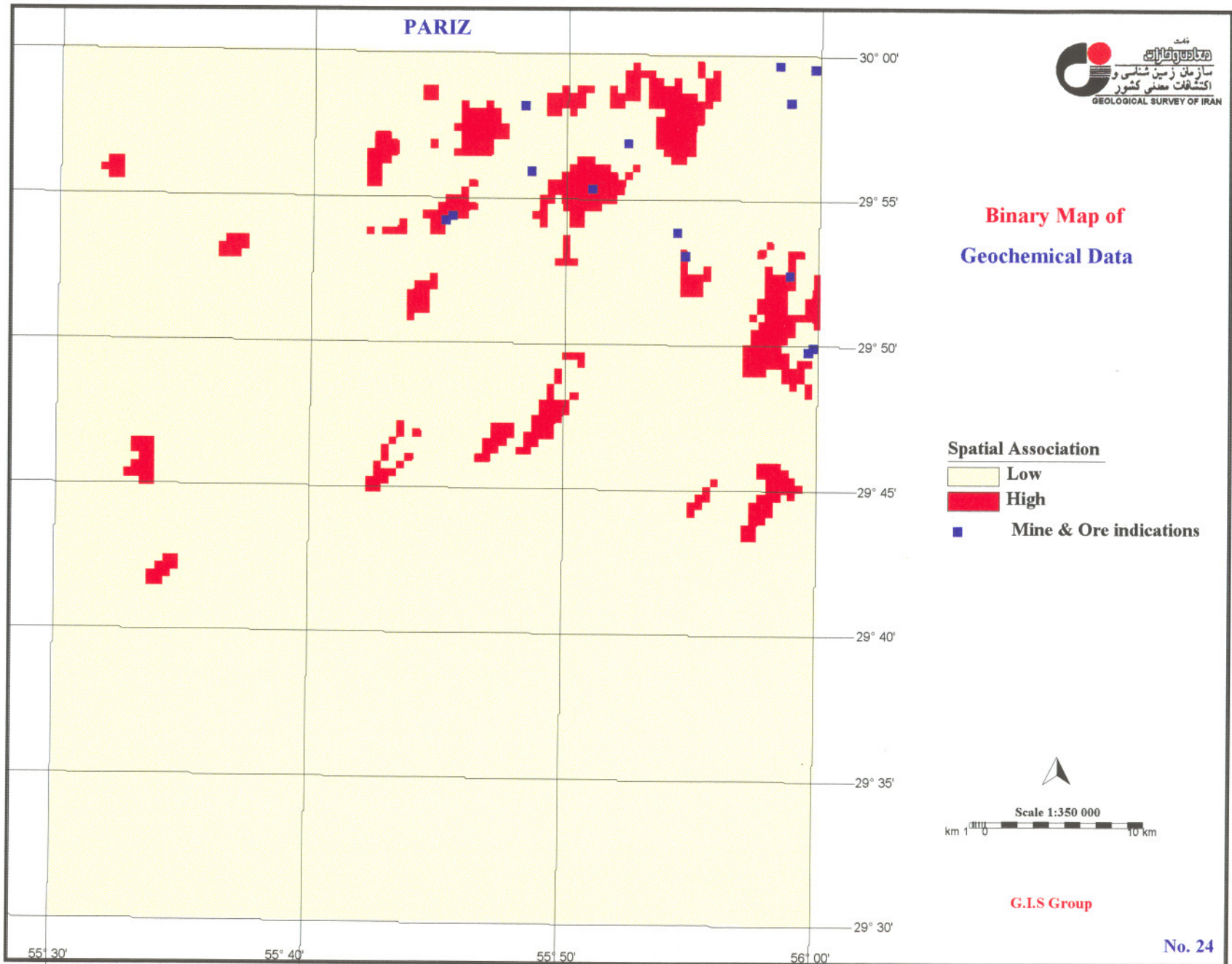
برای تهیه نقشه نشانگر ژئوشیمی در هر سری از داده‌ها (محدوده ناهنجاریهای ژئوشیمیایی و کانی سنگین عنصر مس و عناصر ردیاب آن و همچنین محدوده‌های امیدبخش ژئوشیمیایی این عنصر) بعد از ارزش دادن به نقشه ناهنجاری هر عنصر، تمامی نقشه‌های حاصل با استفاده از OR منطق بولی با هم تلفیق شده‌اند.

نتیجه حاصل یک نقشه با ارزش دوتایی است که همان نقشه نشانگر ژئوشیمیایی است (نقشه

شماره ۲۴)

این نقشه نشانگر دوتایی نیز به همراه سایر نقشه‌های ایجاد شده در مرحله تلفیق مورد استفاده

قرار می‌گیرد.



۴-۲-۲- نقشه نشانگر گسلها

با توجه به اهمیت گسل خورده‌ها در ارتباط با کانی زایی، برای تهیه یک نقشه حتی المقدور

کامل از چندین منبع استفاده شده است که عبارتند از:

- گسل‌های زمین‌شناسی برگه ۱:۱۰۰،۰۰۰ پاریز

- گسل‌های نتیجه شده از داده‌های ژئوفیزیکی

- گسل‌های بدست آمده از تصاویر ماهواره‌ای

از آنجاییکه برخی از گسل‌های ناحیه در نقشه زمین‌شناسی معدنی نشان داده نشده‌اند و برخی

گسلها پوشیده شده می‌باشند، برای تکمیل گسل‌هایی که در روی نقشه‌های زمین‌شناسی ثبت شده‌اند

اقدام به استفاده از تصاویر ماهواره‌ای لندست TM و نقشه ژئوفیزیکی نیز گردید.

گسل‌های ناحیه که از روی تصاویر ماهواره‌ای توسط گروه سنجش از دور استخراج شده بود برای

تصحیح و تکمیل به گسل‌های نقشه زمین‌شناسی و ژئوفیزیکی اضافه گردید و با حذف گسل‌های تکراری

نهایتاً نقشه‌ای از گسلها تهیه شد، (نقشه شماره ۲۵) سپس نقشه بافر گسلها تهیه گردید. (نقشه شماره ۲۶)

از آنجا که گسلها نه در مفهوم خطوط بلکه در وسعت زون یا زون‌های گسله مدنظر می‌باشند به

منظور ارزش دار کردن این محدوده و مشخص نمودن بهترین شعاع از نظر داشتن بیشترین ارتباط با معادن

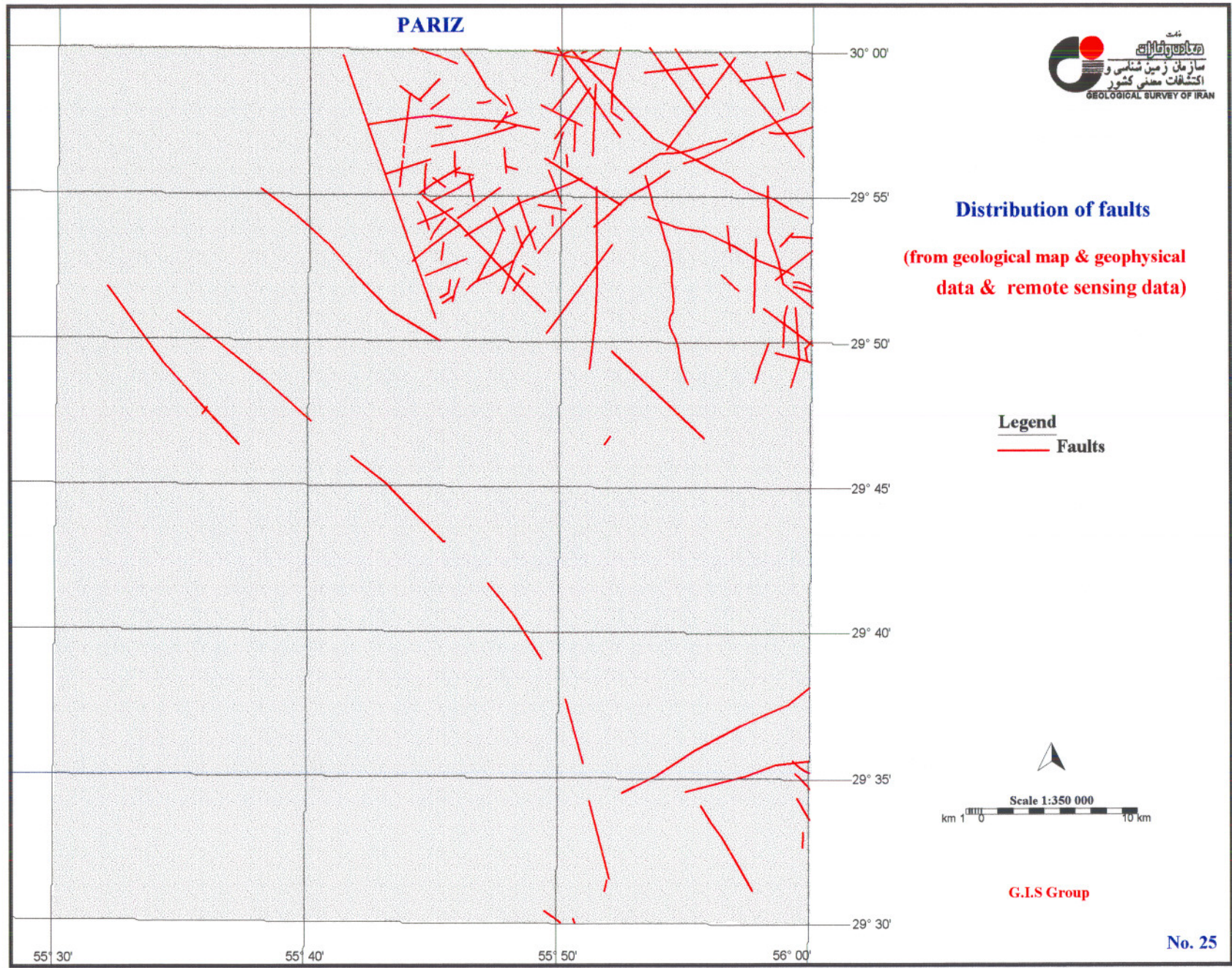
و اندیس‌های معدنی نقشه بافر گسلها با استفاده از آنالیز وزن‌های نشانگر و نتایج حاصل (جدول

شماره ۶) وزن‌دار شده است.

بر اساس جدول مورد نظر فقط ۶ کلاس اول بیشترین ارتباط را با نقاط نشان میدهد، لذا برای تهیه

نقشه‌ای دوتایی از گسل‌های منطقه به ۶ کلاس اول ارزش بالا و به سایر کلاس‌ها ارزش پایین داده شده

است و بدین ترتیب نقشه نشانگر گسلها تهیه گردید (نقشه شماره ۲۷)



PARIZ

30° 00'

29° 55'

29° 50'

29° 45'

29° 40'

29° 35'

29° 30'

55° 30'

55° 40'

55° 50'

56° 00'



Buffers Around faults

(from geological map & geophysical
data & remote sensing data)

Buffer zones(Km)

- within 0.100 km
- within 0.200 km
- within 0.300 km
- within 0.400 km
- within 0.500 km
- within 0.600 km
- within 0.700 km
- within 0.800 km
- within 0.900 km
- within 1.000 km

Faults

Mine & Ore indications

Scale 1:350 000

km 1 0 10 km

G.I.S Group

No. 26

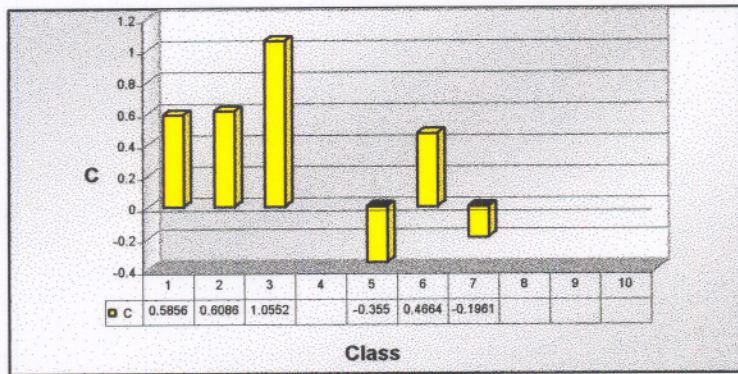
Table(6):Results of Weights of Evidence for Faults Distribution

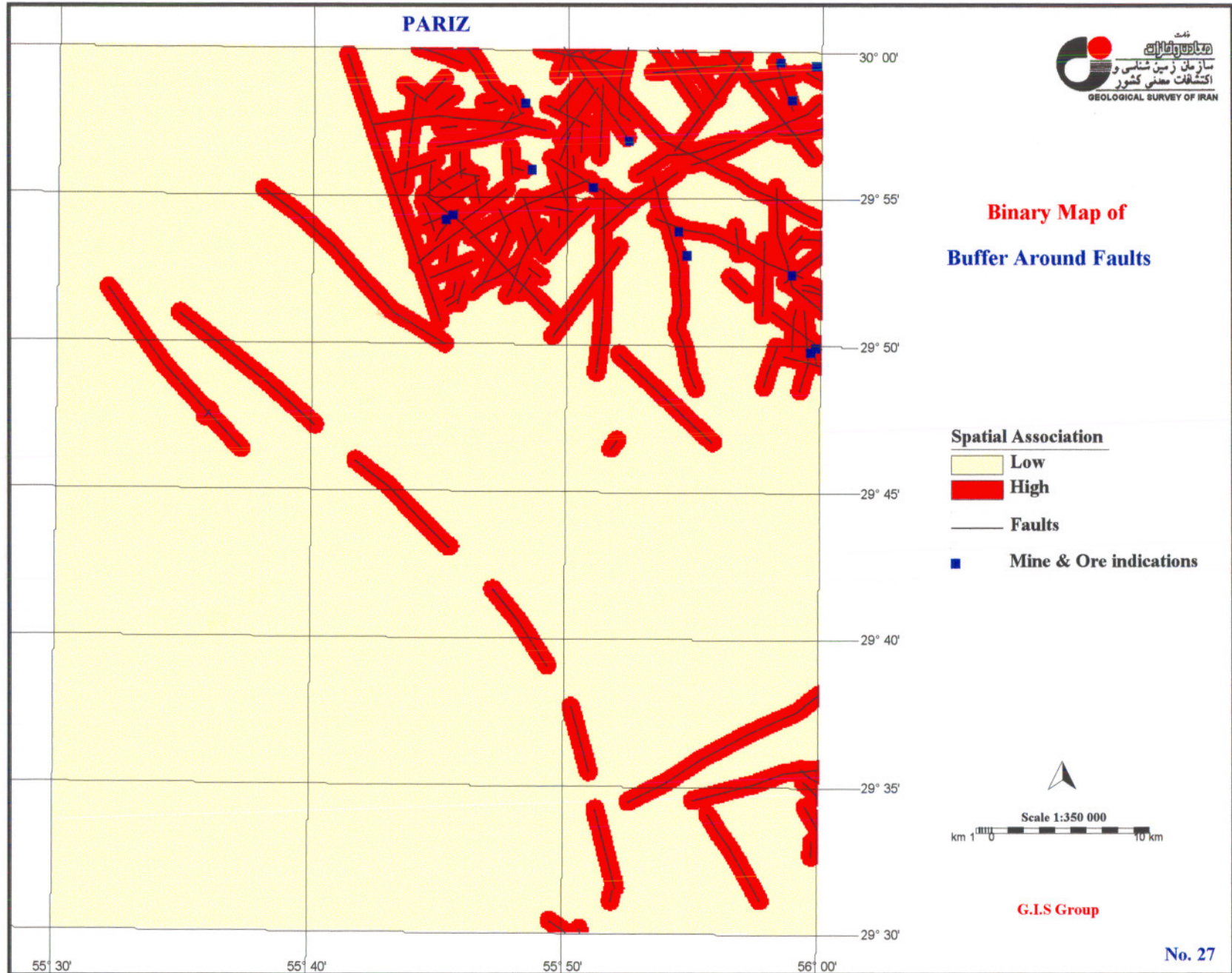
Unit cell size 0.5 Km²

Selected 6 class(1,2,3,4,5,6)

class	class	area	points	W+	s(W+)	W-	s(W-)	C	s(C)	Stud(C)
1	1	186	3	0.4858	0.5821	-0.0998	0.3029	0.5856	0.6561	0.8924
2	2	182	3	0.5058	0.5821	-0.1028	0.3029	0.6086	0.6562	0.9274
3	3	174	4	0.8491	0.5058	-0.2061	0.3175	1.0552	0.5972	1.7667
4	4	160	0							
5	5	138	1	-0.3251	1.0036	0.03	0.2788	-0.355	1.0416	-0.3409
6	6	133	2	0.4117	0.7125	-0.0547	0.29	0.4664	0.7692	0.6063
7	7	120	1	-0.1808	1.0042	0.0154	0.2788	-0.1961	1.0422	-0.1882
8	8	109	0							
9	9	102	0							
10	10	97	0							

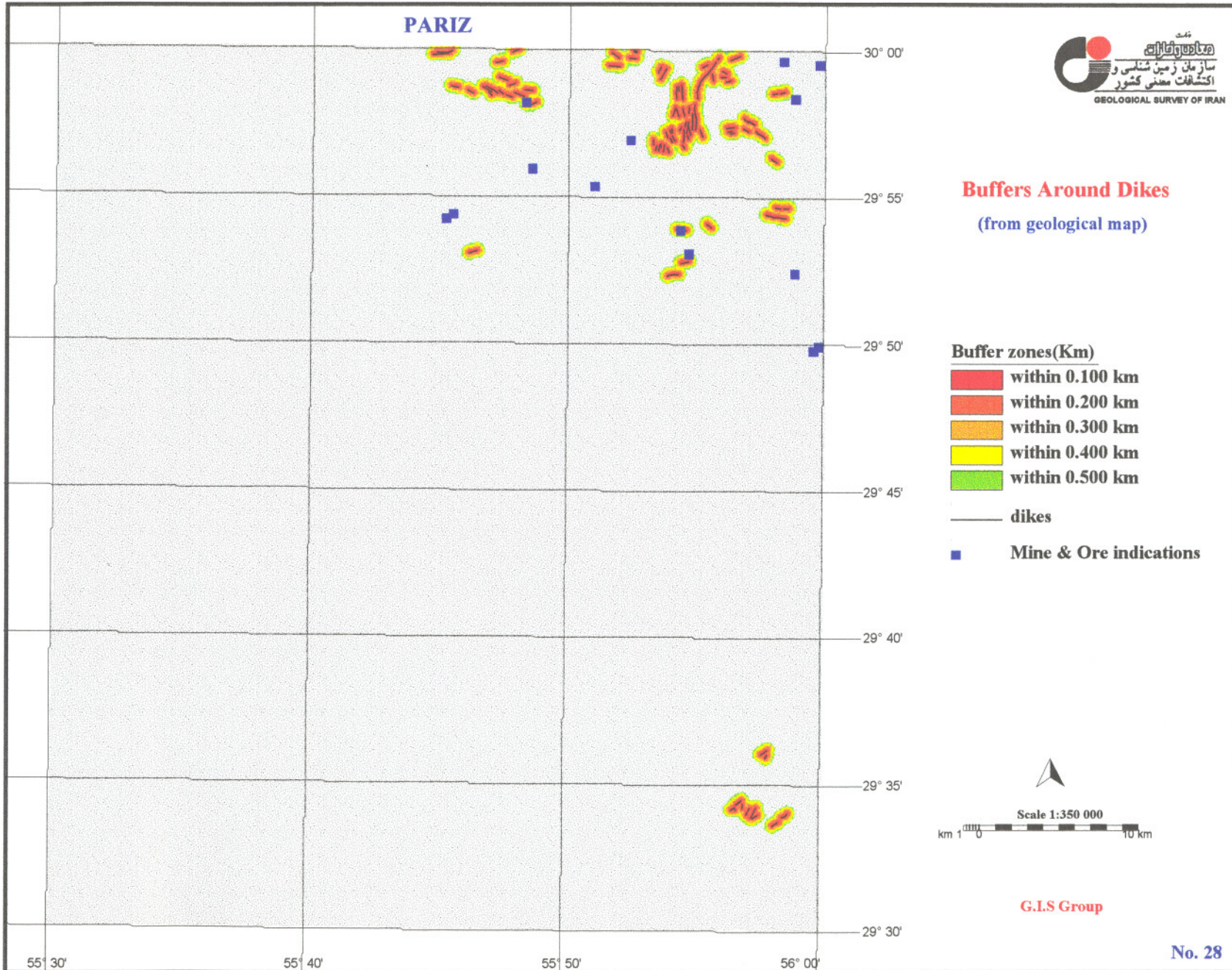
Contrast Values for Different Classes of Faults Distribution





۲-۲-۵ - نقشه نشانگر دایکها

دایکهای استخراج شده از نقشه زمین‌شناسی یکی دیگر از لایه‌های اطلاعاتی میباشد که در تهیه نقشه نهایی مورد استفاده قرار گرفته است، این عوارض مانند گسل‌ها ابتدا بافر شده است (نقشه شماره ۲۸) و سپس برای تعیین بهترین شعاع از نظر داشتن بیشترین ارتباط با معادن و ان迪س‌های معدنی نقشه بافر دایکها با استفاده از آنالیز وزنهای نشانگر و نتایج حاصل از (جدول شماره ۷) وزن‌دار شده است، بر اساس جدول مورد نظر فقط کلاس اول بیشترین ارتباط را با نقاط نشان میدهد، لذا برای تهیه نقشه‌ای دوتایی از دایکهای منطقه به کلاس اول ارزش بالا و به سایر کلاس‌ها ارزش پایین داده شده است و به این ترتیب نقشه نشانگر دایکها تهیه گردید (نقشه شماره ۲۹).

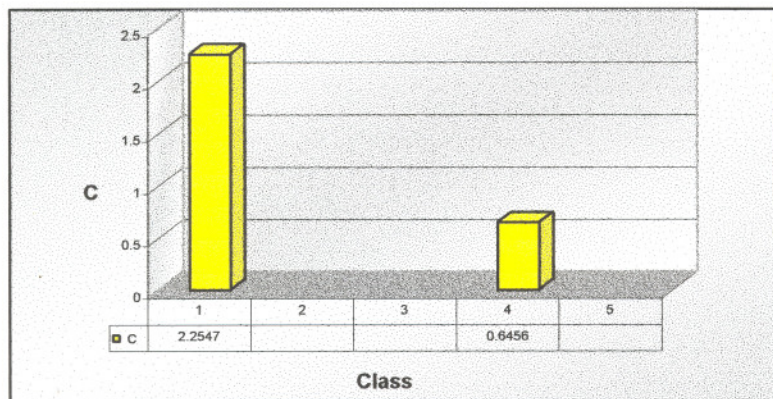


Table(7):Results of Weights of Evidence for Distribution of Dikes

Unit cell size 0.5 Km

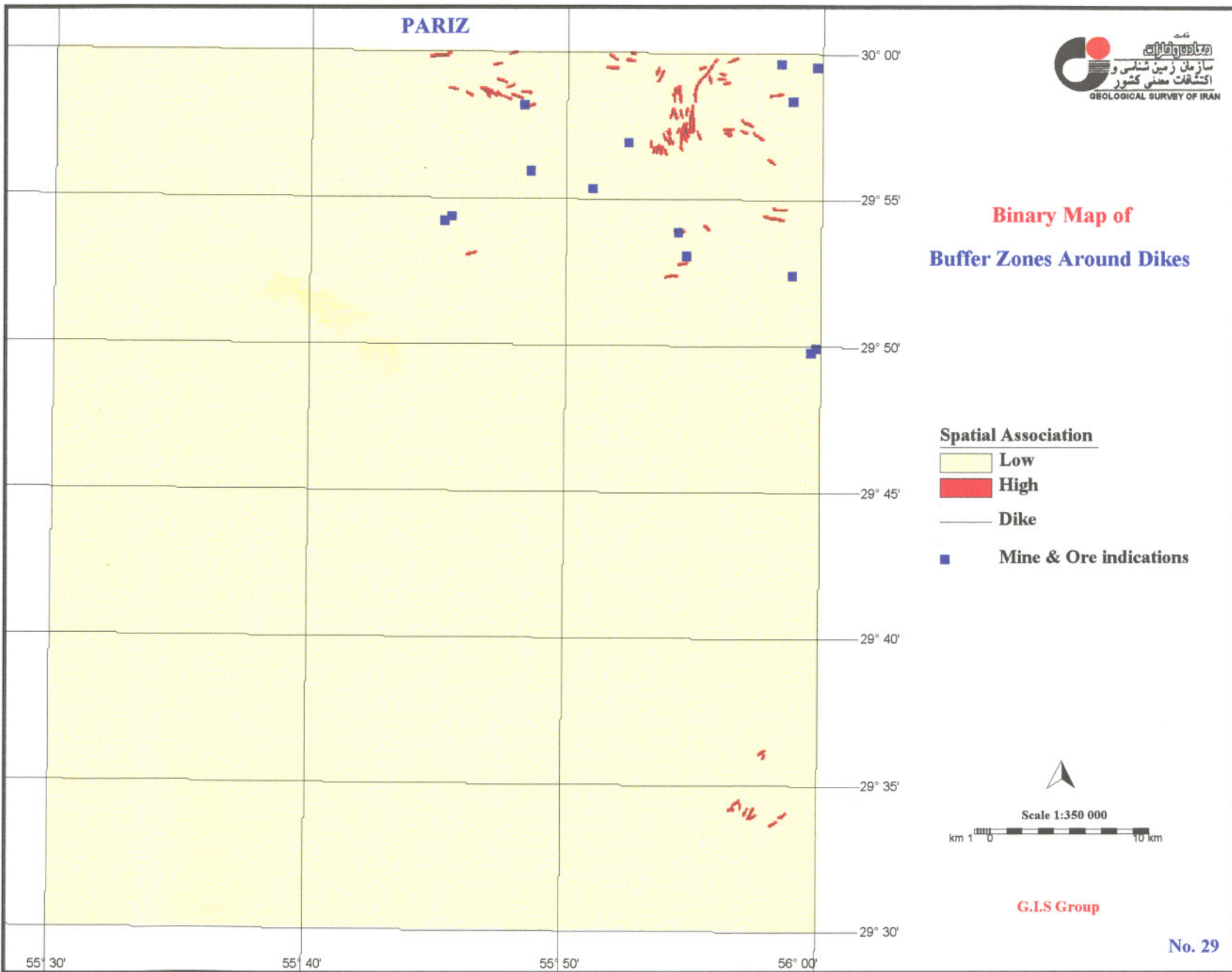
Selected 1 class(1)

class	class	area	points	W+	s(W+)	W-	s(W-)	C	s(C)	Stud(C)
1	1	22	2	1.3465	0.7403	-0.9081	1.005	2.2547	1.2482	1.8063
2	2	26	0							
3	3	27	0							
4	4	25	1	0.473	1.0199	-0.1726	0.7145	0.6456	1.2452	0.5184
5	5	21	0							

Contrast Values for Different Classes of Dikes Distribution

Binary Map of

Buffer Zones Around Dikes



فصل دوم

روند تهیه نقشه پتانسیل معدنی در سیستم اطلاعات جغرافیایی

۶-۲-۲- نقشه نشانگر مناطق دگرسان شده

در این بررسی مناطق دگرسان شده‌ای که مورد استفاده قرار گرفته‌اند همانطور که قبل‌اشاره شد از بررسی تصاویر ماهواره لندست TM با قدرت تفکیک زمینی ۳۰ متر در هفت باند طول موجی بدست آمده است.

با انتساب یک ارزش بالای یکسان به تمامی محدوده‌های دگرسان شده نقشه‌ای دوتایی خواهیم داشت (نقشه شماره ۳۰) که به همراه سایر نقشه‌های نشانگر در تهیه نقشه نهایی مورد استفاده قرار می‌گیرد.

PARIZ

**Binary Map of
Altered Area**

Spatial Association

Low
High

■ Mine & Ore indications

30° 00'

29° 55'

29° 50'

29° 45'

29° 40'

29° 35'

29° 30'

55° 30'

55° 40'

55° 50'

56° 00'

G.I.S Group

Scale 1:350 000
km 0 10 km



No. 30

۲-۳- ترکیب و تلفیق نقشه‌های نشانگر بر مبنای مدل انتخابی و تهیه نقشه پتانسیل معدنی با

الویت‌بندی

هدف نهایی در اکثر پروژه‌های سیستم‌های اطلاعات جغرافیایی ترکیب داده‌های مختلف از منابع گوناگون به منظور توصیف، آنالیز و تجزیه پدیده‌ها و یا ایجاد نقشه‌هایی جدید است که می‌توانند نهایتاً در تصمیم‌گیری‌ها مورد استفاده قرار گیرند. (بونم کارترا ۱۹۹۴)

معمولًاً ترکیب نتایج حاصل از همه اطلاعات بدست آمده کارایی بیشتری نسبت به بررسی تک تک اطلاعات مختلف مثل ژئوشیمی، ژئوفیزیک و... دارد.

در این پروژه همانطور که اشاره شد هدف دستیابی به نقشه‌های پتانسیل معدنی عنصر فلزی مس برای پی‌جویی‌های بعدی در منطقه بوده است، لذا با توجه به این هدف اطلاعات مفیدی جمع آوری شدند و همانطور که قبلًاً اشاره شد مورد پردازش قرار گرفتند و در نهایت به صورت نقشه‌هایی دوتایی و آماده تلفیق و مدل سازی درآمدند.

تهیه نقشه‌های نشانگر (همانگونه که قبلًاً اشاره شد) می‌تواند بر اساس دو رویه متفاوت تکیه بر داده‌ها^(۱) و یا با تکیه بر نظر متخصصین^(۲) صورت بگیرد، در هر یک از این روشها نحوه وزن‌دار کردن متفاوت خواهد بود.

آنالیز رگرسیون لجستیکی^(۳) و وزنهای نشانگر مثالهایی از روش‌های تکیه بر داده‌ها و روش‌های منطق فازی^(۴) و تقاطع شاخصی^(۵) مثالهایی از روش‌های تکیه بر نظر متخصصین علوم زمین هستند. (بونم کارترا، ۱۹۹۴)

از روش‌هایی که در این بررسی بهره برده شده است، روش‌های وزن‌های نشانگر و آنالیز رگرسیون لجستیکی است.

1) Data-driven

2) Knowledge-driven

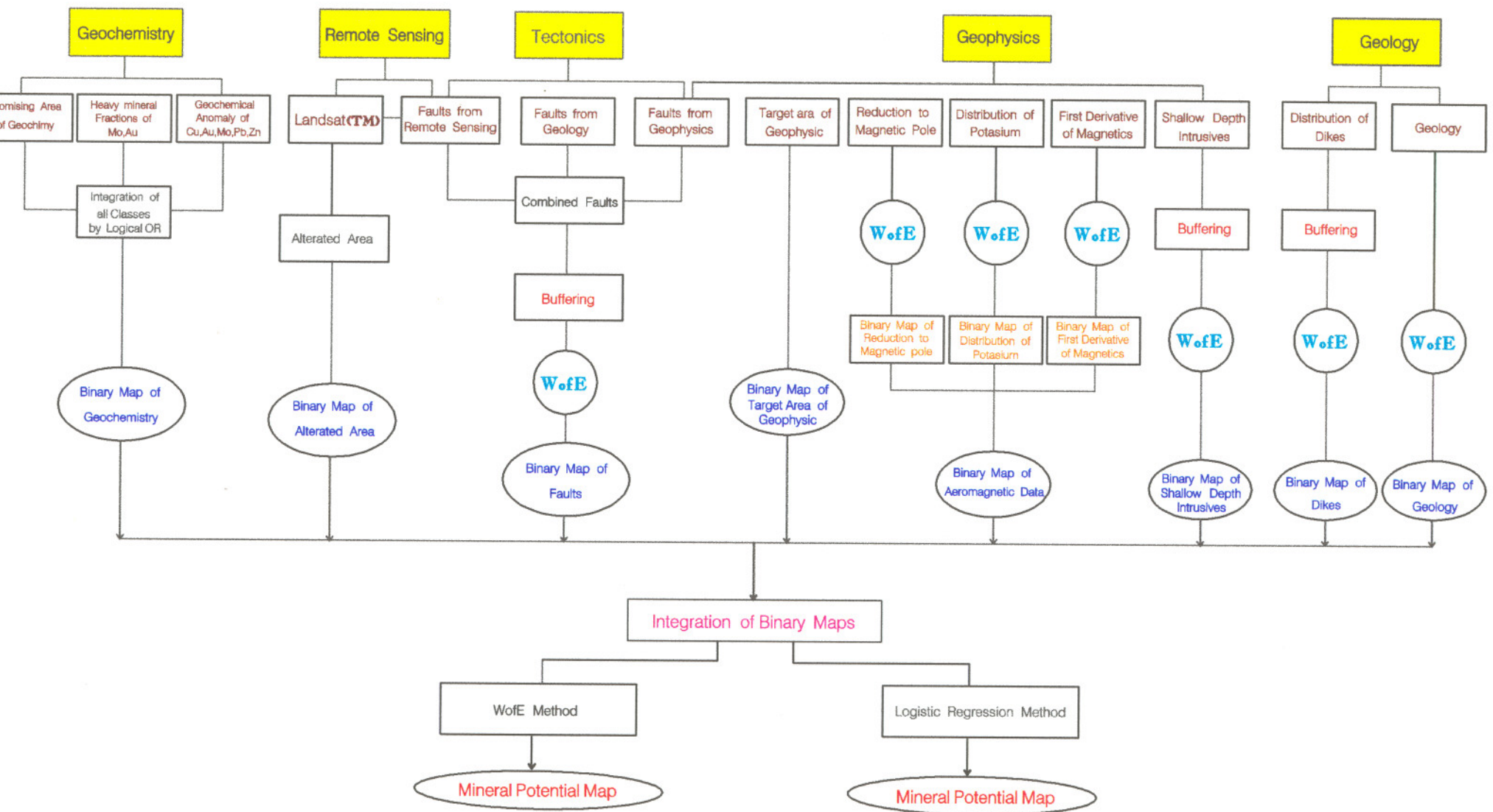
3) Logistic regression

4) Fuzzy Logic

5) Index overlay

از آنجا که در روش ترکیب با وزنهای نشانگر اساس کار به کارگیری نقشه‌های نشانگر دوتایی و ترکیب آنها است، لذا اقدام به تهیه و استفاده از این نوع نقشه‌های دوتایی شده است.

نقشه شماره (۳۱) به طور خلاصه روند بررسی به منظور دستیابی به نقشه پتانسیل معدنی عنصر فلزی مس را نمایش میدهد.



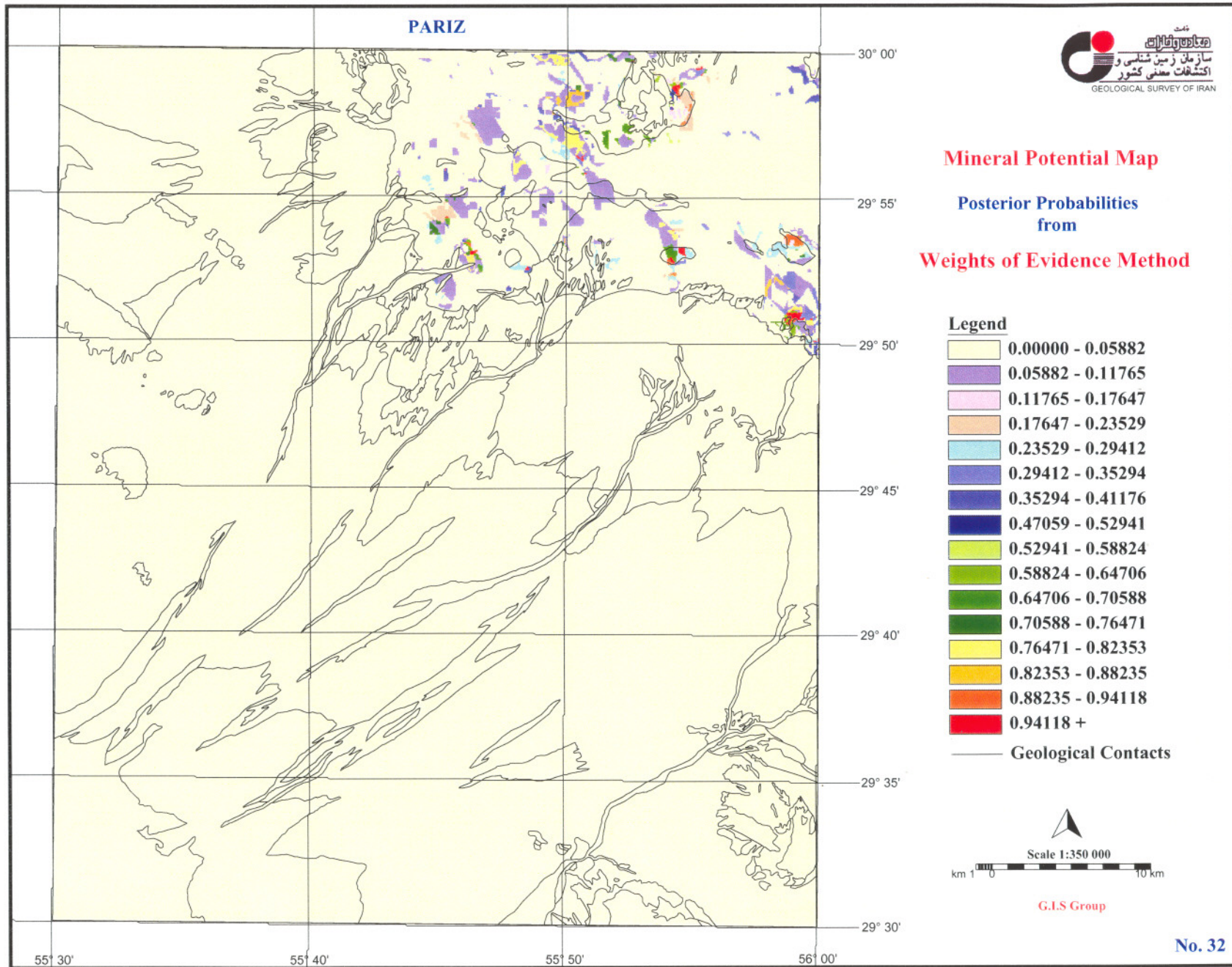
۱-۳-۲- روشنی‌های نشانگر

همانگونه که در مبحث پردازش داده‌ها به طور گذرا اشاره شد در روش مذکور با محاسبه مساحت‌های دارای کلاس بالا و کلاس پایین بر حسب سلول واحد و محاسبه تعداد نقاط مورد نظر در داخل محدوده مورد مطالعه، وزن‌هایی محاسبه می‌شود که معرف حضور و همراهی این نقاط با کلاس‌های خاص نقشه هستند و با وزن‌های W^+ , W^- و تفاضل آنها با کنترast (C) مشخص می‌شوند که با محاسبات دیگری می‌توانند بیانگر نسبت‌های احتمالات تجربی^(۱) باشند. (برای آشنایی بیشتر با مفاهیم ریاضی این روش به بونم کارت، ۱۹۹۴، فصل ۹، رجوع شود).

به دنبال تهیه نقشه‌های دوتایی این نقشه‌ها با هم ترکیب شده و به صورت نقشه‌ای واحد براساس نقاط (معدن و اندیس‌های معدنی) مدنظر وزن‌دار می‌شوند، اگر احتمال اولیه^(۲) حضور یک نقطه کانسال در مساحت سلول واحد را عددی ثابت و برابر چگالی توزیع نقاط فرض کنیم، در این صورت احتمال تجربی بر حسب احتمال اولیه بر اساس یک سری قوانین ریاضی برای تمامی سلول‌ها محاسبه می‌گردد، به این ترتیب با محاسبه این مقادیر احتمال تجربی برای تمامی سلول‌ها، نقشه‌ای تهیه می‌شود که نحوه توزیع این احتمال تجربی را در ناحیه مورد مطالعه نشان میدهد. (نقشه شماره ۳۲) این نقشه مقدار احتمال تجربی محاسبه شده برای بخش‌های مختلف را نمایش میدهد که یکی از نقشه‌های پتانسیل معدنی و فلزی ارائه شده می‌باشد.

1) Posterior Probability

2) Prior Probability



۲-۳-۲- روش آنالیز رگرسیون لجستیکی

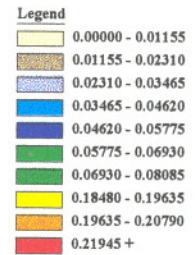
آنالیز رگرسیون لجستیکی یکی از روش‌هایی می‌باشد که می‌توان از آن برای پیش‌بینی وضعیت احتمالی وقوع یک متغیر با ماهیت دو تایی، بر اساس مجموعه‌ای از متغیرهای مستقل استفاده کرد. در حقیقت روش مذکور یکی از روش‌های آماری چند متغیره است که با استفاده از آن می‌توان احتمال وقوع پدیده‌ای را تخمین زد، همچنین این روش پیش فرض‌های کمتری را نسبت به روش‌های دیگر چند متغیره نیاز دارد.

برای خلاصه‌ای از تئوری و نحوه محاسبه احتمال تجربی در روش رگرسیون لجستیکی می‌توان به کتابهای آماری چند متغیره یا گزارش تهیه شده نقشه‌های پتانسیل مقدماتی در ناحیه سقز (دانش‌فر و همکاران، ۱۳۷۸) مراجعه نمود.

نقشه (شماره ۳۳) نشان‌دهنده احتمال تجربی محاسبه شده با روش رگرسیون لجستیکی برای بخش‌های مختلف می‌باشد که یک نقشه پتانسیل معدنی فلزی است که بر اساس نقشه‌های نشانگر معرفی شده در مرحله قبل (پردازش داده‌ها) تهیه شده است.

PARIZ

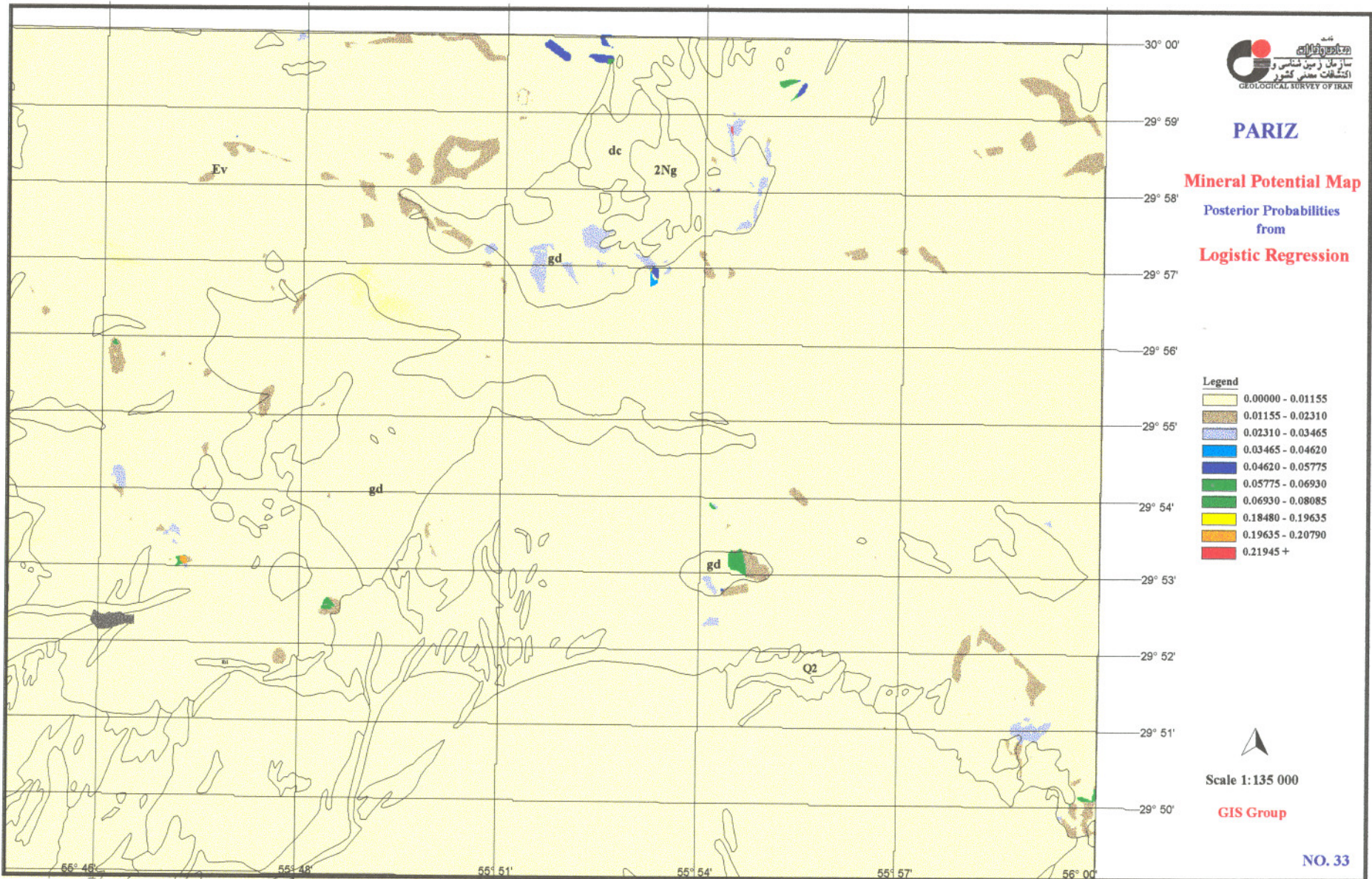
Mineral Potential Map
Posterior Probabilities
from
Logistic Regression



Scale 1:135 000

GIS Group

NO. 33



نتیجه‌گیری

روندهای مشاهده شده برای بالاترین کلاسها که معرف بیشترین احتمال وقوع کانی‌سازی در ورقه ۱۰۰،۰۰۰:۱ پاریز است عموماً در هر دو نقشه پتانسیل تهیه شده با هم تطابق دارند. این در حالی است که ماهیت و روش محاسبه و رسیدن به نقشه‌های پتانسیل مختلف ارائه شده در بخش‌های قبلی اساساً با هم متفاوت است و از منطق‌های جداگانه به جواب خود می‌رسند.

فصل سوم

کنترل صحرایی محدوده‌های امیدبخش و
صورت نتایج آزمایشگاهی نمونه‌های ذکر شده

کنترل زمینی محدوده‌های امیدبخش GIS در برگه ۱:۱۰۰،۰۰۰ پاریز مربوط به طرح اکتشاف سراسری ذخایر معدنی در کمربند ارومیه - دختر از تاریخ ۷۹/۳/۲۵ لغایت ۷۹/۳/۲۹ صورت پذیرفت. از مجموع برداشت‌های صحرایی انجام شده ۴ محدوده اساسی همانطور که در نقشه شماره ۳۴ مشاهده می‌شود معرفی می‌گردد.

خصوصیات محدوده‌های مورد نظر که دارای بالاترین احتمال پی‌جوبی هستند به شرح ذیل می‌باشد:

۱- محدوده اول:

این محدوده شامل مساحتی حدود 15Km^2 بوده که از ۶ منطقه مختلف آن نمونه‌برداری شده است.

خصوصیات مناطق مورد نظر به ترتیب عبارتند از:

- منطقه اول: در مختصات $E^{\circ} ۵۳^{\circ} ۵۵^{\circ}$ و $N^{\circ} ۴۷^{\circ} ۵۹^{\circ} ۰^{\circ}$ در دایکهای تزریق شده در سنگهای ولکانیکی در مسیر پاریز پایین به پاریز بالا در داخل سنگهای ولکانیکی آلترا شده که دانه‌های پلاژیوکلاز، فلدسپات و سیلیس به صورت زونی در آن دیده می‌شود (سنگ به شکل پرفیری می‌باشد)، یک سری رگه و رگچه‌های نازک استوک ورکی که سیستم شکستگی سنگ را پرکرده مشاهده می‌شود، ضخامت این رگه، رگچه‌ها از ۱Cm تا حداقل ۲Cm با کانی سازی مس به شکل کانه مالاکیت می‌باشد. علاوه بر مالاکیت که به وفور در منطقه دیده می‌شود، بورنیت، کالکوزین، پیریت و مس Native نیز وجود دارد، در برخی قسمتها از هوازدگی پیریت اکسیدهای لیمونیت تشکیل شده است، همچنین در این منطقه بیوتیت فراوانی دیده می‌شود، با متحول شدن فلدسپاتها کانی کائولن نیز ایجاد شده است، گانگ این رگه‌ها کلسیت می‌باشد.

یک نمونه تحت عنوان PR-A₁-1 جهت تعیین عیار مس و دیگر عناصر و مقاطع صیقلی از این منطقه اخذ شده است.

PARIZ

Mineral Potential Map

Posterior Probabilities

from

Weights of Evidence Method

Legend

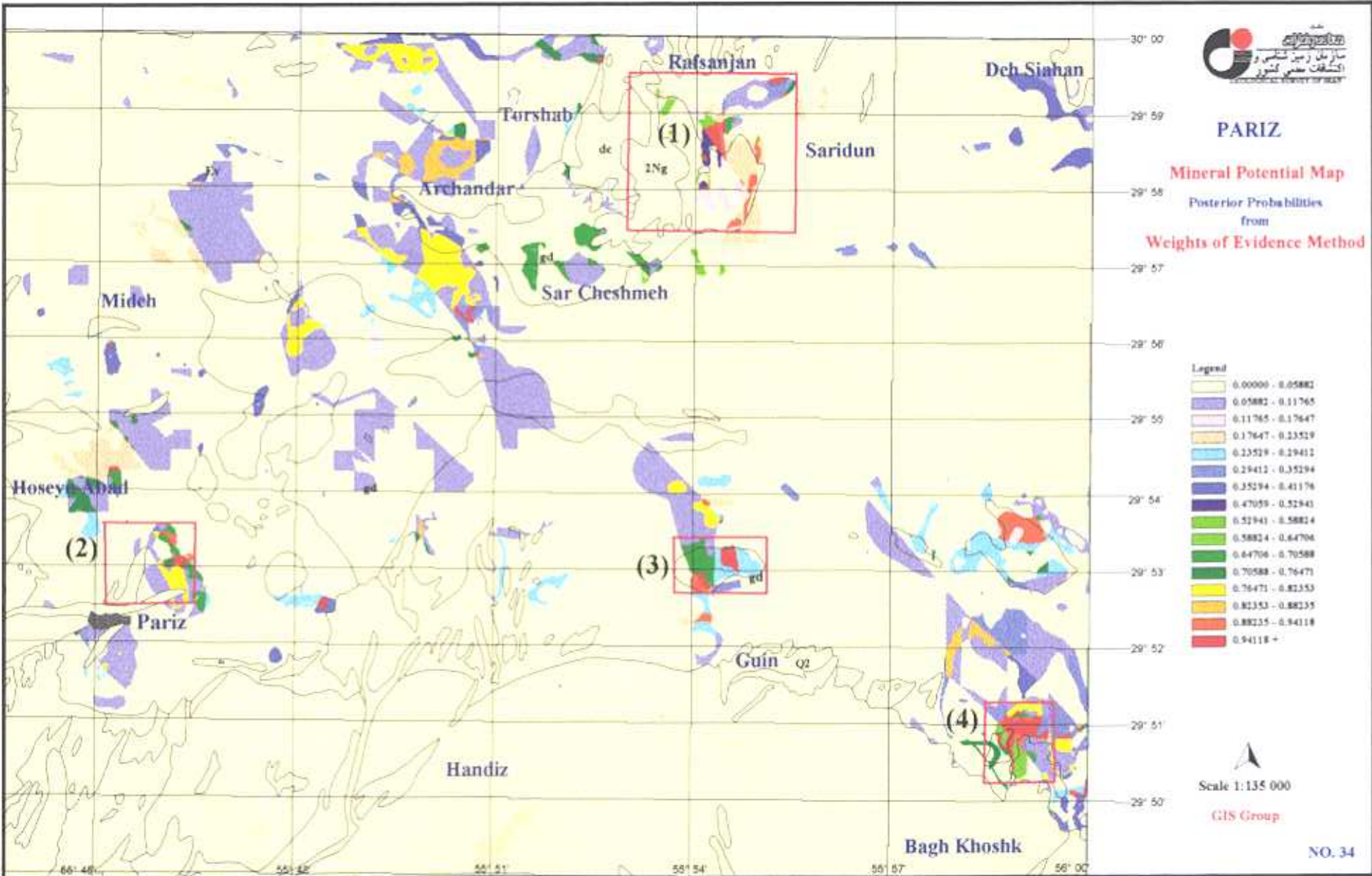
0.00000 - 0.05882
0.05882 - 0.11765
0.11765 - 0.17647
0.17647 - 0.23529
0.23529 - 0.29411
0.29412 - 0.35294
0.35294 - 0.41176
0.41176 - 0.47059
0.47059 - 0.52941
0.52941 - 0.58824
0.58824 - 0.64706
0.64706 - 0.70588
0.70588 - 0.76471
0.76471 - 0.82353
0.82353 - 0.88235
0.88235 - 0.94118
0.94118 +



Scale 1:135 000

GIS Group:

NO. 34



- منطقه دوم: در شمال شرق منطقه اول در مختصات $E^{\circ} 21^{\prime} 53^{\prime\prime}$ و $N^{\circ} 29^{\prime} 59^{\prime\prime}$ در سنگهای ولکانیکی یک سری رگه با ضخامت ۱/۰ تا ۰/۰ متر با کانی‌های مالاکیت و مس Native دیده می‌شود. در این منطقه یکسری دایک با روند $E^{\circ} 30^{\prime\prime}$ که ولکانیکها را قطع کرده‌اند ملاحظه می‌شود. یک نمونه تحت عنوان PR-A₁-2 از این منطقه اخذ گردید.

- منطقه سوم: در مختصات $E^{\circ} 43^{\prime} 53^{\prime\prime}$ و $N^{\circ} 29^{\prime} 59^{\prime\prime}$ در داخل یک توده نفوذی که شدیداً کائولینی شده و کانی‌های رسی و فلدسپاتی به صورت زونه در داخل آن دیده می‌شود (احتمالاً زون پتاسیک) کانی سازی مس از نوع مالاکیت، کولین و کالکوزین دیده می‌شود. کانی‌های آهن دار نیز از هوازدگی بیوتیت تشکیل شده‌اند. مساحت این منطقه ۱۰۰ متر \times ۱۰۰ متر در نظر گرفته شده است. یک نمونه تحت عنوان PR-A₁-3 از این منطقه اخذ شده است.

- منطقه چهارم: در مختصات $E^{\circ} 41^{\prime} 54^{\prime\prime}$ و $N^{\circ} 29^{\prime} 58^{\prime\prime}$ یک رگه سیلیسی با روند شمالی - جنوبی در زون پتاسیک که احتمالاً کانی‌های رسی در آن شدیداً فعالیت داشته با شیب تقریبی قائم بیرون زد دارد. ضخامت این رگه ۱ تا ۵ متر و طول آن ۲۰۰ متر با کانی‌های مالاکیت، آزوریت و بافت مامالیتی است. (تصاویر شماره ۱ و ۲) در این منطقه یک نمونه تحت عنوان PR-A₁-4 اخذ گردید.

- منطقه پنجم: در مختصات $E^{\circ} 45^{\prime} 54^{\prime\prime}$ و $N^{\circ} 29^{\prime} 58^{\prime\prime}$ در زون یک آلتراسیون رسی با کانه‌های فلزی سنگهای آندزیت پرفیری به رنگ قهوه‌ای متمایل به ارغوانی به صورت یک دایک در منطقه به طول ۲۵۰ متر و عرض ۲۵ متر بروند دارد. این دایک حاوی مقادیری از مس با کانه مالاکیت می‌باشد. (تصویر شماره ۳) از این منطقه یک نمونه تحت عنوان PR-A₁-5 اخذ شده است.

- منطقه ششم: در مختصات $15^{\circ}59'N$ و $55^{\circ}54'E$ در داخل سنگهای نفوذی آلتره شده

- که بیشتر به زون پتاسیک شباهت دارد یک رگه کانه‌دار با روند $E 40 N$ که احتمالاً دنباله رگه شمالی -

جنوبی منطقه چهارم میباشد با طول ۵۰۰ متر و ضخامت ۱ تا ۲۵ متر مشاهده می‌شود. در این رگه کانه

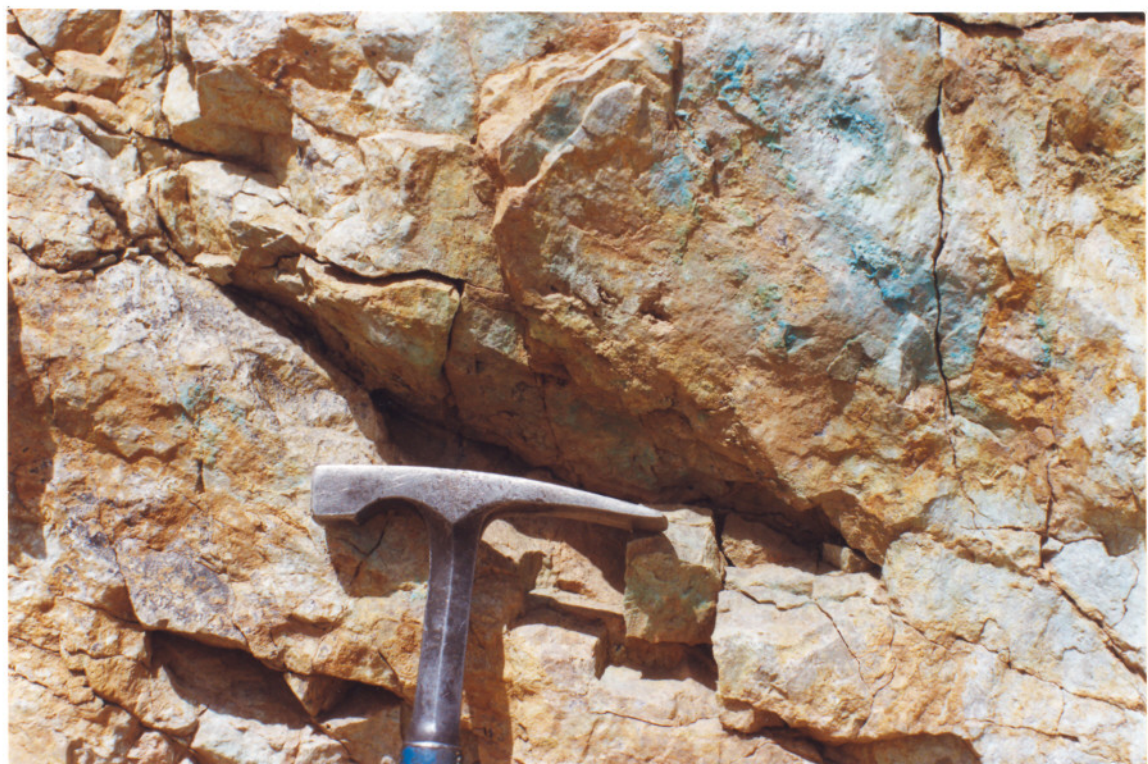
مالاکیت، آزوریت، پیریت، لیمونیت و گوتیت وجود دارد. (تصویر شماره ۴) حفریات قدیمی و جدید

شامل ترانشه و چاهک در این زون دیده می‌شود.

یک نمونه تحت عنوان PR-A₁-6 از این منطقه اخذ گردید.



تصویر شماره ۱: نمای دور از رگه‌های حاوی مالاکیت، دید به سمت غرب



تصویر شماره ۲: نمای نزدیک از رگه‌های حاوی مالاکیت، دید به سمت غرب



تصویر شماره ۳: نمای نزدیک از دایکهای حاوی مس با کانه مالاکیت



تصویر شماره ۴: رگه کانه‌دار شامل مالاکیت، آزوریت و پیریت، دید به سمت غرب

۲- محدوده دوم:

در مختصات $E^{\circ} ۵۲\ ۰۸$ و $N^{\circ} ۴۷\ ۵۵$ در نزدیکی شهر پاریز در محل سنگهای ولکانیکی با ترکیب آندزیتی که بیشتر بافت پرفیری از خود نشان میدهد کانی زایی مس از نوع مالاکیت، آزوریت، بورنیت و کالکوزین به شکل یک رگه در کنタکت یک گسل با روند شمال غرب - جنوب شرق به ضخامت ۵/۰ متر با شیب $E\ ۴۰$ دیده می شود. طول کانی زایی در منطقه ۱۰ متر با گانگ کلسیت میباشد. (تصویر شماره ۵)

یک نمونه تحت عنوان PR-A4-1 برای مقاطع صیقلی و آنالیز شیمی طلا، مس و مولبیدن از این منطقه اخذ گردید.



تصویر شماره ۵: نمای نزدیک از رگه کانی دار حاوی مالاکیت، آزوریت و بورنیت،

دید به سمت شمال شرق

۳- محدوده سوم:

این محدوده با مختصات $E^{\circ} ۱۶^{\circ} ۵۴^{\prime} ۵۵^{\prime\prime}$ و $N^{\circ} ۲۹^{\circ} ۰۲^{\prime} ۵۳^{\prime\prime}$ در اطراف معدن دره زار قرار دارد.

در این منطقه زون آلتراسیون پروپیلیتی مشاهده میشود، البته لازم به ذکر است که این آنومالی مکان واقعی معدن دره زار را نیز نشان میدهد. (تصاویر شماره ۶ و ۷) نشاندهنده نمایی از معدن دره زار و (تصویر شماره ۸) نشانگر آنومالی مجاور معدن دره زار است.



تصویر شماره ۶: نمای قسمتی از معدن دره زار، دید به سمت غرب



تصویر شماره ۷: نمای دور از معدن دره زار، دید به سمت جنوب غرب



تصویر شماره ۸: نمایی از آنومالی مجاور معدن دره زار همراه با زون آلتراسیون پروپیلیتی، دید به سمت شمال شرق

۴- محدوده چهارم:

این محدوده با مختصات $E^{\circ} 53^{\prime} 58^{\prime\prime}$ و $N^{\circ} 55^{\prime} 51^{\prime\prime}$ در نزدیکی روستای باغ خشک قرار گرفته است.

در این منطقه ولکانیک با نفوذی عمیق دیده می‌شود، آلتراسیون آن از نوع پروپیلیتی بوده و کانه‌های مالاکیت و بورنیت نیز در منطقه دیده می‌شود.

در این محدوده یک نمونه تحت عنوان PR-A4-8 اخذ گردید. /ب۶۸



سازمان زمین شناسی و اکتشافات معدنی کشور

تهران ، میدان آزادی ، خیابان مراج ، صندوق پستی ۱۴۹۴ - ۱۳۱۸۵ تلفن: ۹۱۷۱

نمبر: ۶۰۰۹۳۲۸ بست الکترونیکی : Compu. Cent @ www.dci.co.ir

بسمه تعالیٰ

سازمان زمین شناسی و اکتشافات معدنی کشور

معاونت آزمایشگاهها و فرآوری مواد

مدیریت امور آزمایشگاهها

آزمایشگاه کانه نگاری و الکترومیکروب

گزارش مطالعه مقاطع صیقلی

درخواست کننده: آقای بهروز برنا

کد امور آزمایشگاهها: ۷۹-۴۸۲

تعداد نمونه: دو عدد

هزینه: ۲۳۰,۰۰۰ ریال

مطالعه کننده: مهدی حاجی نوروزی

تاریخ مطالعه: مرداد ماه ۱۳۷۹



سازمان زمین شناسی و اکتشافات معدنی کشور

تهران ، میدان آزادی ، خیابان معراج ، صندوق پستی ۱۴۹۴ - ۹۱۷۱
تلفن: ۰۲۶۰ ۹۳۳۸ - پست الکترونیکی : Compu. Cent @ www.dci.co.ir

سازه
تاریخ
پوست

شماره صحرانی : PR-A1-1

شماره آزمایشگاهی : ۷۹-۸۷

مس طبیعی : لکه های نیمه شکل دار مس ناتپو با ابعاد ۲۰ میکرون الى دانه هائی که با چشم غیر مسلح قابل رؤیت هستند، در متن نمونه بطور پراکنده مشاهده می شوند. فراوانی آنها حدود ۱٪ است. در اثر آتراسیبون سوپرژن حاصله باریکی از دانه های مس از اطراف در حال تبدیل به کوپریت می باشد.

هماتیت : دانه های نیمه شکل دار یا تیغه ای هماتیت بصورت پراکنده و با فراوانی کم در نمونه مشاهده می شوند. ابعاد این دانه ها حدود ۷۰ میکرون است.

مالاکیت : ناشی از آتراسیبون کانی های مس بطور ثانوی در درز و شکافها استقرار یافته و در بعضی قسمتها در سطح سنگ ایجاد آغشته است.

اکسیدهای ثانویه و آبدار آهن هم به میزان کم داخل حفرات وارد شده است.

شماره صحرانی : PR-A4-1

شماره آزمایشگاهی : ۷۹-۸۶

منیتیت : دانه های اتومرف منیتیت با ابعاد ۴۰ تا ۱۵۰ میکرون با فراوانی حدود ۱٪ بطور پراکنده در تمام قسمتها متن دیده می شود. پدیده ها مارتبیز اسپوون یعنی تبدیل منیتیت به هماتیت بطور پیشرفت مشاهده می شود در بعضی از دانه ها حتی هماتیت نیز به اکسیدهای آبدار آهن نظری گوتیت و لیموئیت بدل گشته است.

هماتیت : علاوه بر هماتیت های مشاهده شده در اثر آتراسیبون منیتیت، دانه های مستقل هماتیت به میزان کم و پراکنده با ابعاد زیر ۰.۵ میکرون نیز در این نمونه وجود دارند.

کولین : به میزان بسیار کم همراه با اکسیدهای ثانویه و آبدار آهن مشاهده می شود. احتمالاً کانی اولیه کالکوپریت بوده است که هم اکنون در اثر آتراسیبون سوپرژن به کولین و اکسیدهای ثانویه و آبدار آهن بدل گشته است.

مالاکیت : مalaکیت نیز در سر تا سر نمونه هم داخل شکستگی ها را پر کرده است و هم در سطح نمونه ایجاد آغشته است.

ساختار نمودار گذره

محمد رضا کاظمی
دیراموراز مایل کا بهما



سازمان زمین شناسی و اکتشافات معدنی کشور

شماره: ۷۹-۴۸۲
تاریخ: ۷۹/۰۹
پیوست:

تهران، میدان آزادی، خیابان معراج، صندوق پستی ۱۴۹۴ - ۱۳۱۸۵
تلفن: ۹۱۷۱
سایر: ۶۰۰ ۹۳۳۸ بست الکترونیکی: Compu. Cent @ www.dci.co.ir

بسمه تعالی

آزمایشگاه ژئوشیمی

=====

درخواست کننده: آقای بهروز برنا

تاریخ درخواست: ۷۹/۴/۲۲

شماره گزارش: ۷۹-۱۱۰

بهای تجزیه: یکمیلیون و دویست هزار ریال

شماره نمونه	شماره آزمایشگاه	% Cu	PPm Zn	PPm Pb	PPm Ag	PPm Mo
PR-A1-1	G79/633	0.92	37	43	5	2
" " -2	634	20.23	90	16	54	2
" " -3	635	1.93	190	21	0.6	20
" " -4	636	2.33	31	105	2.2	2
" " -5	637	1.61	180	20	0.8	2
" " -6	638	8.08	77	218	2.4	4
PR-A4-8	639	2.11	130	14	6	<2
" " -1	640	0.49	29	13	0.8	2

محمود رضا ارمکان

تجزیه کننده: مقیمه

سرپرست آزمایشگاه ژئوشیمی

١٦



سازمان زمین شناسی و اکتشافات معدنی کشور

معاونت تحقیقات آزمایشگاهی

مدیریت امور آزمایشگاهها

تاریخ گزارش: ۵ مرداد

نمونه داده تعداد :

هزینه آنالیز :

درخواست کننده: آٹھی سرنا

کدامور : ۴۸۹ - V

شماره گزارش : ۳۶-۹۷

J₁, E₁, m₁ + J₂, E₂, m₂ /
S₁ S₂ C₁ C₂ N₁ N₂

مینو کریمی
سرپرست آزمایشگاه

آنالیز کننده: کرده استاد تری چو **محمد رضی‌الله**
مدیر امور آزادگان ایامگاه

منابع فارسی مورد استفاده

علوی - م، ۱۳۷۸ - طرح اکتشافات مواد معدنی با استفاده از داده‌های ماهواره‌ای و ژئوفیزیک

هوایی، گزارش مطالعات ژئوفیزیکی به روشهای مغناطیسی، رادیومتری و مقاومت سنجی هوایی در منطقه پاریز، سازمان زمین‌شناسی و اکتشافات معدنی کشور

مهرداده تهرانی - س، فتوتی - و، نعیمی قصابیان - ن، ۱۳۷۸ - طرح اکتشاف سراسری ذخایر معدنی، پروژه اکتشافات سیستماتیک در کمربند ارومیه - دختر در برگه ۱:۱۰۰،۰۰۰ پاریز، سازمان زمین‌شناسی و اکتشافات معدنی کشور، فصل دوم.

حسن‌زاده - ج، سیاح - پیمان، شریفی - آرش، عبدالوهابی گیلانی - کیوان، پندآموز - علی، حیدری - اسماعیل، ۱۳۷۸ - طرح اکتشاف سراسری ذخایر معدنی، پروژه اکتشافات سیستماتیک در کمربند ارومیه - دختر در برگه ۱:۱۰۰،۰۰۰ پاریز، سازمان زمین‌شناسی و اکتشافات معدنی کشور، فصل سوم و چهارم.

هندي - رامین، سودی شعار - پیام، فهیمی - مسعود، نوروزی - داود، ابوالقاسمی - بهرام، دهقان - مریم، اشرف - آوا، ۱۳۷۸ - طرح اکتشاف سراسری ذخایر معدنی، پروژه اکتشافات سیستماتیک در کمربند ارومیه - دختر در برگه ۱:۱۰۰،۰۰۰ پاریز، سازمان زمین‌شناسی و اکتشافات معدنی کشور، فصل پنجم.

REFERENCE

Bonham - Carter, G.F., 1994, Geographic information systems for geoscientists : Modelling with GIS, Pergamon, Oxford, 398 P.

